

САНКТ-ПЕТЕРБУРГСКИЙ ГОСУДАРСТВЕННЫЙ МОРСКОЙ
ТЕХНИЧЕСКИЙ УНИВЕРСИТЕТ

Кафедра сопротивления материалов

РАСЧЕТ СТЕРЖНЕВЫХ ЭЛЕМЕНТОВ
СУДОВЫХ КОНСТРУКЦИЙ

Часть IV

Методические указания

Ук 9762



Санкт-Петербург
2000

Методические указания, предназначенные для студентов Санкт-Петербургского государственного морского технического университета вечерней и заочной формы обучения, помогут им самостоятельно разобраться в решении задач. Четвертая часть указаний посвящена расчетам перемещений при простых видах статического и динамического нагружения, расчетам динамической прочности, а также исследованию напряженного состояния в тоне деформированного тела и расчетам прочности в общих случаях нагружения. Приводятся в достаточном объеме примеры задач с подробным разбором их решения. Материал указаний должен способствовать успешному выполнению домашних заданий, расчетно-проектировочных работ студентами, обучающимися без отрыва от производства.

Главы 1, 2 написаны М.Н.Сиверсом, глава 3 – А.М.Усаневым.

СИВЕРС

Михаил Николаевич

УСАНЕВ

Александр Михайлович

РАСЧЕТ СТЕРЖНЕВЫХ ЭЛЕМЕНТОВ СУДОВЫХ КОНСТРУКЦИЙ

ЧАСТЬ IV

Методические указания

© СПбГМТУ,
2000

Ответственный редактор канд. техн. наук, доц. И.И. Курчаева
Редактор Т.А. Кинь

Подписано в печать 21.01.2000

Лж. 1496. Тир. 300. Уч.-изд. 3.В. СПбГМТУ, Ладиская, 50

I. ОПРЕДЕЛЕНИЕ ПЕРЕМЕЩЕНИЙ ПРИ СТАТИЧЕСКОМ НАГРУЖЕНИИ СТЕРЖЕЙ

В части I методических указаний "Расчет стержневых элементов судовых конструкций" были рассмотрены примеры определения нормальных σ и касательных τ напряжений в поперечных сечениях стержней при простых нагружениях: растяжения – сжатия, изгиба, кручения. Выполнение условий $|\sigma|_{\max} \leq [\sigma]$ и $\tau_{\max} \leq [\tau]$ свидетельствовало о прочности стержня. Однако при проектировании инженером сооружений также необходимо проверить и обеспечить достаточную их жесткость, т.е. жесткость линейных и угловых перемещений по всей длине. Рассмотрим этот вопрос.

Соединим продолжим ось стержня с координатной осью ox , в качестве оси измерения поперечных сечений с осью oy и oz . Обозначим осевые перемещения точки соответствующего u , v , w , а углы поворотов поперечных сечений относительно координатных осей – θ_x , θ_y , θ_z .

При данном параметре нагружения стержня (рис.1.1) полное перемещение произвольной точки

$$\rho = \sqrt{u^2 + v^2 + w^2},$$

а жесткость проверяется условием

$$\rho_{\max} \leq [\rho], \quad (1.1)$$

где $[\rho]$ – допустимая перемещение.

В случае растяжения и сжатия для стержня определяется максимальная по длине перемещение $u = u(x)$; в случае кручения – углы поворотов поперечных сечений $\theta_x(x)$; в случае поперечного изгиба в плоскости yoz – осевые перемеще-

ние $u(x)$ и угол поворотов $\theta(x)$ в случае поперечного изгиба в плоскости YOx — $w(x)$ и $\theta_y(x)$.

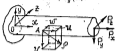


Рис.1.1. Сложное нагружение: N, M, P — осевые; φ — угол поворота в точке А

Расчет поперечной статической нагруженной и упруго деформируемых стержневых конструкций основан на использовании закона Гука, согласно которому во всех точках стержня относительная продольная деформация

$$\epsilon = \frac{\sigma}{E}, \quad (1.2)$$

а угол сдвига

$$\gamma = \frac{\tau}{G}, \quad (1.3)$$

где E и G — модули продольной упругости и сдвига, характеризующие способность материала сопротивляться деформированию.

Для стали $E = 2 \cdot 10^5$ МПа и $G = 0,8 \cdot 10^5$ МПа. Подстановка в (1.2) или (1.3) соотношений, связывающих напряжения с внутренними усилиями в поперечных сечениях, а относительные деформации с абсолютными, приводит к формулам для абсолютных перемещений.

1.1. Растяжение и сжатие

Известно, что при деформации на стержень продольной силой P , как показано на рис.1.2, а, в поперечных сечениях возникает напряжение

$$\sigma = \frac{N}{F},$$

а относительная продольная деформация во всех точках

$$\epsilon = \frac{\Delta l}{l},$$

где N — продольная сила; F — площадь сечения; l — длина стержня; Δl — абсолютное удлинение.

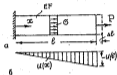


Рис.1.2. Продольное нагружение стержня (а) и распределение напряжений (б)

Подставляя σ и ϵ в формулу (1.2), получим закон Гука в форме, позволяющей найти абсолютные удлинения:

$$\Delta l = \frac{N l}{EF}. \quad (1.4)$$

Знаменатель EF в (1.4) определяет продольную жесткость стержня. Поскольку в рассматриваемом случае $N = P > 0$, из (1.4) следует, что чем больше P , тем больше стержень растягивается ($\Delta l > 0$). При противоположном направлении внешней силы P продольная сила $N = -P < 0$ и стержень сжимается ($\Delta l < 0$). Перемещение точки правого торцевого сечения $u(l)$ равно абсолютному удлинению всего стержня

$$u(l) = \frac{Pl}{EF}.$$

Очевидно, что перемещение любого произвольного поперечного сечения $u(x)$ равно абсолютному удлинению участка длиной x , заключенного между неподвижным торцом ($x = 0, u = 0$) и рассматриваемым сечением

$$u(x) = \frac{Px}{EF}. \quad (1.5)$$

Высот $u(x)$ по формуле (1.5) приводит к виду измененных переменных, изображенной на рис.1.2,б.

Для стержня ступенчато-переменного сечения, нагруженного несколькими сосредоточенными продольными силами, перемещение $u(x)$ равно сумме абсолютных удлинений всех участков, расположенных между известным из условий закрепления неподвижным и рассматриваемым сечениями

$$u(x) = \sum_{i=1}^n \frac{N_i l_i}{EF_i} \quad (1.6)$$

где n - число прямоугольных участков, на каждом из которых определены N_i , l_i , EF_i .

При отсутствии закреплений у стержня за неподвижное можно условно принять твердое сечение со стороны начала координат.

В общем случае продольного нагружения стержня с переменной жесткостью

$$u(x) = \int_0^x \frac{N(x)}{EF(x)} dx \quad (1.7)$$

Продольная деформация изолированных стержней или стержневых систем, вызываемая внешними силами, может сопровождаться изменением температуры. Определая перемещения в таких системах, следует к абсолютным удлинениям, обусловленным продольными силами, добавить температурные удлинения $\alpha l t^*$ (α - коэффициент температурного расширения материала, t^* - изменение температуры для рассматриваемого стержня), т.е. считаем

$$\Delta l = \frac{N l}{EF} + \alpha l t^* \quad (1.8)$$

ПРИМЕР 1.1. Построить эпюру продольных перемещений для стержня ступенчато-переменного сечения (рис.1.3,а).

Дано: $P = 75 \text{ кН}$; $F_1 = F_2 = 16 \text{ см}^2$; $F_3 = F_4 = 0,7 F_1$; $l_1 = 1 \text{ м}$; $l_2 = l_3 = 0,5 \text{ м}$; $l_4 = 1 \text{ м}$; $E = 2 \times 10^5 \text{ МПа}$.

Решение. Исходные данные к настоящему примеру взяты из примеров 2.8 и 3.1 части I методических указаний для дополнения расчета исходными деформированным состоянием.

Определим абсолютные удлинения четырех характерных участков по закону Гука (1.3). Эпюры продольных сил приведены на рис.1.3,б.

Участок 1: $0 < x < l_1$, $N_1 = 0,6P$, $\Delta l_1 = \frac{N_1 l_1}{EF_1} = \frac{0,6 \cdot 75 \cdot 10^3 \cdot 10^3}{2 \cdot 10^5 \cdot 16 \cdot 10^4} = -0,125 \text{ мм}$.

Участок 2: $l_1 < x < l_1 + l_2$, $N_2 = 0,8P$, $\Delta l_2 = \frac{N_2 l_2}{EF_2} = \frac{0,8 \cdot 75 \cdot 10^3 \cdot 0,5 \cdot 10^3}{2 \cdot 10^5 \cdot 0,7 \cdot 16 \cdot 10^4} = 0,119 \text{ мм}$.

Участок 3: $l_1 + l_2 < x < l_1 + l_2 + l_3$, $N_3 = 2P$,

$$\Delta l_3 = \frac{N_3 l_3}{EF_3} = \frac{2 \cdot 75 \cdot 10^3 \cdot 0,5 \cdot 10^3}{2 \cdot 10^5 \cdot 0,7 \cdot 16 \cdot 10^4} = 0,298 \text{ мм}$$

Участок 4: $l_1 + l_2 + l_3 < x < l_1 + l_2 + l_3 + l_4$, $N_4 = 2P$,

$$\Delta l_4 = \frac{N_4 l_4}{EF_4} = \frac{2 \cdot 75 \cdot 10^3 \cdot 1 \cdot 10^3}{2 \cdot 10^5 \cdot 16 \cdot 10^4} = -0,417 \text{ мм}$$

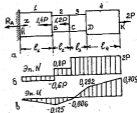


Рис.1.3. К примеру 1.1

Определим перемещения характерных сечений по формуле (1.6):

сечение А: $x = 0$, $u_A = 0$;

сечение В: $x = l_1$, $u_B = \Delta l_1 = -0,125 \text{ мм}$;

сечение С: $x = l_1 + l_2$, $u_C = \Delta l_1 + \Delta l_2 = -0,006 \text{ мм}$;

сечения I: $x = l_1 + l_2 + l_3 = 2 \text{ м}$, $u_2 = \Delta l_1 + \Delta l_2 + \Delta l_3 = 0,392 \text{ мм}$
 сечения K: $x = l_1 - l_2 + l_3 + l_4 = 3 \text{ м}$, $u_4 = \Delta l_1 - \Delta l_2 + \Delta l_3 + \Delta l_4 = 0,709 \text{ мм}$.

Поскольку на каждом из участков перемещение изменяется по линейному закону, для построения эпюры $u(x)$ откладываем в масштабе координаты перемещений и соединяем их для каждого из участков прямой линией (рис.1.3.в).

По эпюре перемещений для всего стержня легко найти и перемещение произвольной точки. По оставшимся эпюре $N(x)$, $u(x)$ видно, что большей по абсолютной величине продольной силой соответствует больший угол наклона линии изменения перемещений (сравнить участки 2 и 3). При постоянном значении N изменяется направление приращения перемещений (сравнить участки 1 и 2). При одинаковой площади сечения на участках $N = \text{const}$ меньшей площади сечения соответствует большая жесткость изменения перемещений (сравнить участки 3 и 4).

ПРИМЕР 1.2. Стержень переменного сечения вставлен в зазор Δ между абсолютно жесткими опорами. При нагружении силой P (рис.1.4) зазор исчезает. Определить перемещение точки A ($x_A = l/2$).



Рис.1.4. К примеру 1.2

Дано: $P = 80 \text{ кН}$; $l = 6 \text{ м}$; $\Delta = 0,8 \text{ мм}$; $F = 10 \text{ см}^2$
 $E = 2 \cdot 10^5 \text{ МПа}$.

Решение. Отсутствие зазора после нагружения указывает на два обстоятельства.

1. Ввиду того, что на опорах возникает две реакции R_A и R_B , стержень является статически неопределимым

$$R_A + R_B = 2P.$$

Стержень статически неопределимый (СОН) рама I.

2. Перемещение правого торца нагруженного стержня равно зазору Δ , откуда удаляем несовместности перемещений согласно (1.6) запишем в виде

$$u(l) = \Delta l_1 + \Delta l_2 + \Delta l_3 = \Delta.$$

где $\Delta l_i = \frac{N_i l_i}{EF_i}$ ($i=1,2,3$); $l_1 = l_2 = l_3 = l/3$; $F_1 = F_2 = 2F_3 = F$.

Продольные силы для каждого из участков определяем методом сечений:

при $0 < x < l/3$ $N_1 = R_A$; при $l/3 < x < 2l/3$ $N_2 = R_A - P$;

при $2l/3 < x < l$ $N_3 = R_A - 2P$.

После подстановки в уравнение совместности имеем

$$\frac{R_A l}{3EF} + \frac{(R_A - P)l}{3EF} + \frac{2(R_A - 2P)l}{3EF} = \Delta$$

и далее последовательно получим

$$R_A = \frac{1}{4}(5P - 3EF \cdot \Delta/l) = \frac{1}{4}(5 \cdot 80 + 3 \cdot 2 \cdot 10^5 \cdot 0,8/6 \cdot 10^3) = 120 \text{ кН},$$

$$N_1 = 120 \text{ кН}, N_2 = 40 \text{ кН}, N_3 = -40 \text{ кН}.$$

Перемещение точки A найдем как сумму абсолютного удлинения всего участка 1 и части участка 2 длиной $x_A = l_1 + l/6 = 1 \text{ м}$:

$$u_A = \frac{N_1 l}{3EF} + \frac{N_2 l}{6EF} = \frac{120 \cdot 6 \cdot 10^3}{3 \cdot 2 \cdot 10^5 \cdot 10^3} + \frac{40 \cdot 6 \cdot 10^3}{6 \cdot 2 \cdot 10^5 \cdot 10^3} = 1,4 \text{ мм}.$$

ПРИМЕР 1.3. Абсолютно жесткий брус AB удерживается в горизонтальном положении растянутым стержнем CD (рис.1.5,а). Определить перемещение точки C после нагружения системы силой P и нагрева упруго-деформируемого стержня CD. Все соединения шарнирные.

Дано: $\alpha = 4$ м; $l = 3$ м; $F = 12 \text{ см}^2$; $E = 2 \cdot 10^5 \text{ МПа}$;
 $\alpha = 125 \cdot 10^{-7} \text{ 1/град}$; $t^0 = 40^\circ \text{C}$; $P = 100 \text{ кН}$.
 $\varphi = 30^\circ$.

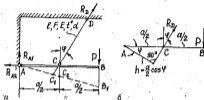


Рис. 1.5. К примеру 1.3: а - схема нагружения и перемещения; б - в заданном направлении моментов относительно точки А

Решение. В рассматриваемой системе нагруженный стержень АВ вращивается вокруг шарнира А по часовой стрелке. Так как стержень CD приобретает очень малое удлинение, можно считать, что точка С перемещается по дуге малой окружности с центром А и радиусом АС). Определим полное удлинение стержня CD с учетом температурной деформации по формуле (1.8), в которой N - продольная сила, равная реакции R_D со стороны верхней шарнира (это очевидно при разрезании стержня CD произвольным сечением и уравновешивании его верхней части). Находя R_D из уравнения всех сил относительно точки А (рис. 1.5, а):

$$R_D \alpha_2 \cos \varphi - P \alpha = 0, \text{ откуда}$$

$$N = R_D = 2P / \cos \varphi = \frac{2 \cdot 100}{0,866} = 231 \text{ кН},$$

и далее по (1.8) удлинение стержня CD равно

$$\Delta l = \frac{231 \cdot 10^3 \cdot 3 \cdot 10^3}{2 \cdot 10^5 \cdot 12 \cdot 10^2} + 125 \cdot 10^{-7} \cdot 3 \cdot 10^3 \cdot 40 = 4,39 \text{ мм}.$$

На рис. 1.5, а отрезок CC_2 соответствует удлинению Δl стержня CD, происходящему в направлении своей первоначальной оси. Для определения действительного положения точки С после нагружения надо провести дугу окружности с центром в точке D и радиусом $r = DC + CC_2 = l + \Delta l$ до пересечения с перпендикуляром к стержню АВ, опущенным из точки С. Точка пересечения этих линий C_2 соответствует положению точки С для деформированной системы.

Ввиду малости деформаций дугу C_1C_2 можно рассматривать как перпендикуляр к радиусу C_1D , поэтому треугольник CC_2C_1 - прямоугольный ($\angle CC_2C_1 = 90^\circ$, $\angle C_1CC_2 = \varphi = 30^\circ$). Отсюда полное перемещение точки С

$$CC_2 = \frac{CC_1}{\cos \varphi} = \frac{\Delta l}{\cos \varphi} = \frac{4,39}{0,866} = 5,07 \text{ мм}$$

1.2. Кручение цилиндрического стержня

Расчет выполняется аналогично тому, как это было указано для случая продольного нагружения.

При кручении моментом M цилиндрического стержня, изображенного на рис. 1.6, а, все его точки находятся в состоянии чистого плоского сдвига. Длина стержня не изменяется, сечения остаются плоскими, а все радиусы прямые. Угол сдвига для образующей боковой поверхности при малых углах закручивания ($\gamma = \tan \gamma$, $\theta_s = \tan \theta_s$) определяется соотношением

$$\gamma = \theta_s(l) \cdot d / 2l, \quad (1.9)$$

где $\theta_s(l)$ - полный угол закручивания свободного торца стержня относительно неподвижного в зажиме ($x = 0$); d - диаметр; l - длина.

Подстановка γ и наибольших касательных напряжений для точек наружной поверхности (рис. 1.6, б)

$$\tau_{\max} = \frac{M_x}{J_p} \frac{d}{2}$$

(M_p — крутящий момент, $J_p = \frac{\pi d^4}{32}$ — полярный момент инерции) определяет угол закручивания в виде

$$\theta_A(l) = \frac{M_p \cdot l}{G J_p} \quad (I.10)$$

где знаменатель характеризует жесткость скручиваемого стержня. Поскольку в рассматриваемом случае $M_p = \text{const}$, то очевидно, что для любого прямолинейного по длине стержня угол закручивания

$$\theta_A(x) = \frac{\pi x}{G J_p}$$

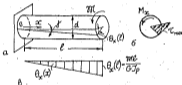


Рис. I.6. Кручение цилиндрического стержня (а), напряжения в сечении (б) и эпюра углов поворота сечений (в)

Эпюра изменения θ_A изображена на рис. I.6в. Для цилиндрического стержня ступенчато переменного сечения, нагруженного произвольным числом сосредоточенных крутящих моментов, угол закручивания определяется суммой абсолютных приращений

$$\theta_A(x) = \sum_{i=1}^n \frac{M_{pi} \cdot l_i}{G J_{pi}} \quad (I.11)$$

где n — число прямолинейных участков между неподвижными и рассматриваемым сечениями.

В общем случае скручивание стержня с переменной жесткостью

$$\theta_A(x) = \int_0^x \frac{M_p(x)}{G J_p(x)} dx.$$

ПРИМЕР I.4. Построить эпюры изменения углов поворота θ_A поперечных сечений скручиваемого стержня, изображенного на рис. I.7, а.

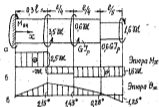


Рис. I.7. К примеру I.4

Даны: $M_p = 80 \text{ кН}\cdot\text{м}$; $l = 8 \text{ м}$; $G J_p = 1,28 \cdot 10^4 \text{ кН}\cdot\text{м}^2$.

Решение. Реактивный момент в заделке определим из уравнения равновесия

$$\sum M_{\text{оп}} \cdot X = M_{\text{оп}} - 3,5 \text{ кН} - 0,6 \text{ кН} + 1,6 \text{ кН} = 0,$$

откуда $M_{\text{оп}} = 2,5 \text{ кН} = 2,5 \cdot 80 = 200 \text{ кН}\cdot\text{м}$.

Крутящие моменты M_p в поперечных сечениях стержня находим методом сечений. Воспользуемся правилом знаков для всех участков в одну сторону

$$M_p(x) = M_{\text{оп}} \Big|_{x=0,8} - 3,5 \text{ кН} \Big|_{x=0,55} - 0,6 \text{ кН}.$$

Эпюра изменения крутящих моментов (рис. I.7, б) необходима для

14 последующей проверки характера изменения θ_x по длине стержня.

Приращение угла закручивания θ_{x_i} для каждого из четырех участков стержня (обозначены на рис.1.7,а) определяется по формуле (1.10).

Участок 1: $0 < x < 0,3l$; $F_1 = 2,4 \text{ м}$; $M_{x1} = 2,5 \text{ Мл} = 200 \text{ кН}\cdot\text{м}$;

$$\theta_{x1} = 1,28 \cdot 10^6 \text{ кН}\cdot\text{м}^2; \theta_{x1} = \frac{M_{x1} l_1 \cdot 2000^4 \cdot 10^3}{GJ_{x1}} = \frac{200 \cdot 0,3 \cdot 2000^4 \cdot 10^3}{80 \cdot 10^9} = 0,0375 \text{ рад} = 2,15^\circ.$$

Участок 2: $0,3l < x < 0,55l$; $F_2 = 0,25l = 2 \text{ м}$;

$$M_{x2} = -\text{Мл} = -80 \text{ кН}\cdot\text{м}; GJ_{x2} = 1,28 \cdot 10^6 \text{ кН}\cdot\text{м}^2;$$

$$\theta_{x2} = \frac{-80 \cdot 10^3 \cdot 2 \cdot 10^3}{1,28 \cdot 10^6 \cdot 10^3} = -0,0125 \text{ рад} = -0,72^\circ.$$

Участок 3: $0,55l < x < 0,8l$; $F_3 = 2 \text{ м}$;

$$M_{x3} = 1,5 \text{ Мл} = -128 \text{ кН}\cdot\text{м}; GJ_{x3} = 1,28 \cdot 10^6 \text{ кН}\cdot\text{м}^2;$$

$$\theta_{x3} = \frac{-128 \cdot 10^3 \cdot 2 \cdot 10^3}{1,28 \cdot 10^6 \cdot 10^3} = -0,02 \text{ рад} = -1,15^\circ.$$

Участок 4: $0,8l < x < l$; $F_4 = 1,0 \text{ м}$; $M_{x4} = -1,5 \text{ Мл} = -128 \text{ кН}\cdot\text{м}$;

$$GJ_{x4} = 0,6 GJ_{x1} = 0,768 \cdot 10^6 \text{ кН}\cdot\text{м}^2;$$

$$\theta_{x4} = \frac{-128 \cdot 10^3 \cdot 1,6 \cdot 10^3}{0,768 \cdot 10^6 \cdot 10^3} = -0,0266 \text{ рад} = -1,53^\circ.$$

При известных θ_{x_i} углы поворотов произвольных сечений относительно неподвижного торца определяются по формуле (1.11). На торцах и в срезах участков имеют:

$$x = 0, \quad \theta_x(0) = 0 \text{ (закрепленный торец)};$$

$$x = 0,3l, \quad \theta_x(0,3l) = \theta_{x1} = 2,15^\circ;$$

$$x = 0,55l, \quad \theta_x(0,55l) = \theta_{x1} + \theta_{x2} = 1,43^\circ;$$

$$x = 0,8l, \quad \theta_x(0,8l) = \theta_{x1} + \theta_{x2} + \theta_{x3} = 0,26^\circ;$$

$$x = l, \quad \theta_x(l) = \theta_{x1} + \theta_{x2} + \theta_{x3} + \theta_{x4} = -1,25^\circ.$$

Этот $\theta_x(x)$ изображен на рис.1.7,в. При сравнении θ_x с M_x можно обратить внимание на следующие закономерности:

- 1) при изменении знака M_x меняется направление приращения θ_x (сравните участки 1 и 2);
- 2) при увеличении абсолютного значения M_x на участках

постоянной жесткости увеличивается величина приращения θ_x (сравните участки 2 и 3);

3) при постоянном M_x и уменьшении жесткости увеличивается величина приращения θ_x (сравните участки 3 и 4).

Для статически неопределяемых стержневых стержней, механически рассматриваемых в примере 3.5 части II методических указаний, настоящий способ может быть применен для раскрытия статической неопределяемости. Отметим, что сумма приращений углов закручивания всех участков между заданными торцами нулю.

1.3. Поперечный изгиб. Универсальное уравнение изогнутой оси

При нагружении стержня силами, действующими в плоскости YOX и перпендикулярными продольной оси, возникает чистый (каждой точке) момент $M \neq 0$, поперечная сила $Q = 0$ или поперечный изгиб ($M \neq 0, Q = 0$). Деформированное состояние стержня в обоих случаях определяется двумя параметрами (рис.1.8): вертикальным перемещением центров тяжести $v = v(x)$ и углами поворотов $\theta_x = \theta_x(x)$ поперечных сечений. Но перемещения v отнесем к изогнутой оси (линии, уплотняя линии) стержня. Для выбранных направлений координатных осей положительными являются перемещения v , направленные вверх, и углы θ_x при повороте сечения против часовой стрелки. В технической теории изгиба стержней ($\theta_x \ll 0,1$) преобладают влияния поперечных сил на изгибные перемещения, поэтому считают, что после поворота сечения остаются плоскими и перпендикулярными к изогнутой оси, т.е.

$$\theta_x = \frac{dv}{dx} = v'. \tag{1.12}$$

Из (1.12) видно, что фактически изгибная деформация определяется одной функцией v , при дифференцировании которой находим углы поворота θ_x , уточняющие характер изгиба.

Направленное состояние изогнутой балки было рассмотрено ранее на основе гипотезы плоских сечений, согласно которой деформация продольных волокон

$$\epsilon = -\frac{\nu}{\sigma};$$

где y - вертикальная координата точки сечения; ρ - радиус кривизны изогнутой оси.

Подстановка ϵ в закон Гука (I.2) и далее в условие незначительности

$$M = - \int (\rho y) dF$$

определяет переменную по длине кривизну изогнутой оси

$$\frac{1}{\rho} = \frac{M}{EJ}, \quad (I.13)$$

где EJ - изгибная жесткость стержня.



Рис. I.8. Переменная при изгибе стержня: ν - вертикальные; θ_0 - угол поворота сечения

Если $M > 0$, то радиус кривизны $\rho > 0$ и изогнутая ось направлена выпуклостью вниз (см. рис. I.8), если $M < 0$ - выпуклостью вверх.

В математике выводится уравнение для вычисления кривизны любой плоской кривой. Применяя его для изогнутой оси стержня, определенной функцией $\nu = \nu(x)$, находим

$$\frac{1}{\rho} = \frac{\nu''}{[1+(\nu')^2]^{3/2}}$$

При малых угловых деформациях $(\nu')^2 \ll 1$, поэтому считаем

$$\frac{1}{\rho} = \nu'' \quad (I.14)$$

Сравним (I.13) и (I.14), получим дифференциальное уравнение изгиба

$$EJ\nu'' = M, \quad (I.15)$$

которое для произвольных стержней $EJ = \text{const}$ легко интегрируется:

$$\theta_0 = \nu' = \theta_{00} + \frac{1}{EJ} \int_0^x M dx; \quad (I.16)$$

$$\nu = \nu_0 = \theta_{00}x + \frac{1}{EJ} \int_0^x \int_0^x M dx dx,$$

где ν_0 и θ_{00} - постоянные интегрирования, всегда равные вертикальному перемещению и углу поворота торцевого поперечного сечения, расположенного в начале координат ($x=0$).

Постоянные ν_0 и θ_{00} определяются после подстановки известных условий закрепления стержня в (I.16). В точках шарнирного опирания стержней $\nu = 0$; в защемленных $\nu = 0$ и $\theta_0 = 0$ (на рис. I.8 при $x=0$).

Результат интегрирования M в (I.15) для любых сечений, направлений и чисел внешних нагрузок $M, P, q = \text{const}$, включая поперечные изгибы, можно представить следующим образом. Поэтому, опуская выкладки, приведем универсальные уравнения для вычисления ν и θ_0

$$\theta_0 = \theta_{00} = \sum_{i=1}^n \frac{M_i(x-c_i)}{EI} + \sum_{j=1}^m \left[\frac{P_j(x-b_j)}{2EI} \right] + \sum_{k=1}^p \left[\frac{q_k(x-c_k)^2}{2EI} \right], \quad (I.17a)$$

$$\nu = \nu_0 = \theta_{00}x + \sum_{i=1}^n \frac{M_i(x-c_i)^2}{2EI} + \sum_{j=1}^m \left[\frac{P_j(x-b_j)^3}{6EI} \right] + \sum_{k=1}^p \left[\frac{q_k(x-c_k)^3}{6EI} \right], \quad (I.17b)$$

где c_i, b_j, c_k - продольные координаты точек приложения сосредоточенных моментов M_i , сил P_j , а также координаты начала участка с распределенной нагрузкой $q_k = \text{const}$.

Сосредоточенные внешние или реактивные моменты и силы, приложенные к стержню на торце, противоположном началу координат, в (I.15) не входят. Знаки (+) или (-) в (I.17) относятся со знаком к соответствующим нагрузкам в формуле для вычисления момента M . Для нагрузок, направленных так же,

ки α на рис. I.8, ставим знак (-). Следует особо отметить внимание на то, что каждая из нагрузок в универсальных уравнениях (I.17) учитывается в расчете только тогда, когда продольная координата x рассматриваемого сечения становится больше, чем координата α_1, β_1 или α_2 точки приложения данной нагрузки. Для распределенных нагрузок q , действующих только на части длины стержня, необходимо дострогать их до конца, противоположного началу координат, и одновременно, обеспечивая равновесие на том же участке, приложить к стержню нагрузку противоположного направления. В частности, для стержня, изображенного на рис. I.8, этот прием приводит к измененной схеме нагрузок (рис. I.9) и уравнению изогнутой оси

$$v(x) = \theta_{z0} x + \frac{m x^2}{2EI} \left[+ \frac{q(x-\alpha)^2}{24EI} - \frac{q(x-\beta)^2}{24EI} + \frac{P(x-\beta)^2}{6EI} \right]$$

Отметим, что выражение, определяющее θ_{z0} , получается из уравнения для $v(x)$ дифференцированием по основанию (I.12).

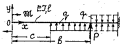


Рис. I.9. К вопросу о дострогании распределенной нагрузки

ПРИМЕР I.5. Построить эпюры изгибающих вертикальных перемещений v и углов поворота θ_z поперечных сечений стержня, изображенного на рис. I.10, а.

Дано: $l = 90$ м; $m = 30$ кН·м; $P = 30$ кН; $q = 60$ кН/м; $E = 2 \cdot 10^4$ МПа; $[\sigma] = 200$ МПа.

Решение. По характеру заданной нагрузки определим, что стержень разобьется на 3 характерных участка ($x < \frac{l}{3}$; $\frac{l}{3} < x < \frac{2l}{3}$; $x = \frac{2l}{3}$). Запишем формулу для момента изгибающего момента в одну строку с разделителями при переходе от участка к участку:

$$M = 0 \Big|_{x=0} + P(x - \frac{l}{3}) - \frac{q(x - \frac{l}{3})^2}{2} \Big|_{x=\frac{2l}{3}}$$

Эпюра M изображена на рис. I.10, б, на эпюре $M_{max} = 67,5$ кН·м. Для двутавра № 27 по справочнику находим $I = 5010$ см⁴ и $W = 371$ см³. Условие прочности для стержня

$$\sigma_{max} = \frac{M_{max}}{W} = \frac{67,5 \cdot 10^4}{371 \cdot 10^3} = 18,2 < [\sigma] = 200 \text{ МПа}$$

выполняется, следовательно, заданной нагрузке должна соответствовать упругая деформация стержня.

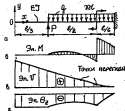


Рис. I.10. К примеру I.5

Универсальные уравнения для изогнутой оси и углов поворота сечений (I.17) для рассматриваемого стержня имеют вид

$$v = \theta_{z0} x + \frac{P(x - \frac{l}{3})^2}{6EI} - \frac{q(x - \frac{l}{3})^3}{24EI} + \frac{m(x - \frac{2l}{3})^2}{2EI}$$

$$\theta_z = \theta_{z0} + \frac{P(x - \frac{l}{3})}{2EI} - \frac{q(x - \frac{l}{3})^2}{6EI} + \frac{m(x - \frac{2l}{3})}{EI}$$

Записав стержень на правом торце позволяет записать для условия закрепления: 1) $x=0$, $v=0$; 2) $x=0$, $\theta_z=0$.

Подставляя первое условие закрепления в уравнение для v , а второе в формулу для θ_z и заменив x на l , имеем:

$$v_0 + \theta_{z0} l + \frac{P(l - l/3)^3}{6EI} - \frac{q(l - l/3)^4}{24EI} + \frac{M(l - \frac{5l}{8})^3}{2EI} = 0;$$

$$\theta_{z0} + \frac{P(l - l/3)^2}{2EI} - \frac{q(l - l/3)^3}{6EI} + \frac{M(l - \frac{5l}{8})^2}{EI} = 0.$$

Последние два равенства представляют собой систему, из решения которой определены неизвестные v_0 и θ_{z0} . Позволятельно вычленим из второго равенства угол поворота торцевого сечения $x = 0$ (подстановку числовых значений опускаем):

$$\theta_{z0}(0) - \theta_{z0} = -\frac{2Pl^2}{9EI} + \frac{4ql^3}{81EI} - \frac{Ml}{6EI} = -2,5 \cdot 10^{-4} \text{ рад.}$$

Подставляя θ_{z0} в первое из уравнений системы, найдем вертикальное перемещение сечения $x = 0$:

$$v(0) = v_0 = -\theta_{z0} l - \frac{4Pl^3}{6EI} + \frac{2ql^4}{243EI} - \frac{Ml^2}{72EI} = 5,36 \text{ мм.}$$

Запишем формулы и результаты расчета перемещений для стержня трех участках стержня: $x = \frac{l}{3}$, $x(\frac{l}{3}) = v_0 + \theta_{z0} \frac{l}{3} = 2,88 \text{ мм.}$

$$\theta_z(\frac{l}{3}) - \theta_{z0} = -2,5 \cdot 10^{-4} \text{ рад.}$$

$$x = \frac{5l}{8}, \quad v(\frac{5l}{8}) = v_0 + \theta_{z0} \frac{5l}{8} + \frac{Pl^3}{48EI} - \frac{ql^4}{364EI} = 1,83 \text{ мм.}$$

$$\theta_z(\frac{5l}{8}) - \theta_{z0} + \frac{Pl^2}{8EI} - \frac{ql^3}{48EI} = -2 \cdot 10^{-4} \text{ рад.}$$

Ниже приведена табл. I.1 числовых значений v и θ_z , по которым на рис. I.10, в и I.10, г построены эпюры $v(x)$ и $\theta_z(x)$.

Таблица I.1

$x, \text{ м}$	0	1	1,5	2	2,25	2,5	2,75	3
$v, \text{ мм}$	6,36	3,68	2,68	1,63	1,14	0,56	0,12	0
$\theta_z \cdot 10^3$	-2,5	-2,5	-2,35	-2	-2,12	-2,49	-1,02	0

После выполнения расчетов необходимо проверить эпюры M , θ_z и v на соответствие друг другу. В частности, при равновесии

стержня в поперечном сечении M нуль или изменение его знака согласно (I.13) радиус кривизны изогнутой оси $\varphi = \infty$ и изогнутая ось стержня должна иметь точку перегиба (см. точку $x = 2 \text{ м}$ и $x = 2,5 \text{ м}$). На участке $0 < x < \frac{l}{3}$ где $M = 0$, стержень не изгибается, и перемещается в плоскости изогнутой или абсолютно жесткого тела ($\theta_z = 0$ и v констатируется линейному закону). При сохранении знака θ_z по длине всего стержня или какого-либо его участка вертикальные перемещения изменяются в одном направлении.

ПРИМЕР I.6. Определить наибольшее вертикальное перемещение и проверить жесткость изгибаемого цилиндрического стержня, изображенного на рис. I.11, а.

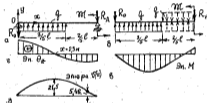


Рис. I.11. К примеру I.6

Заданы: $M = 15 \text{ кН}\cdot\text{м}$, $q = 30 \text{ кН/м}$, $l = 5 \text{ м}$, $d = 16 \text{ см}$, $E = 2 \cdot 10^5 \text{ МПа}$; допустимое перемещение $[v] = 25 \text{ мм}$.

Решение. Определим опорные реакции R_A и R_B из уравнений равновесия стержня:

$$\sum \text{Пр}y = R_A + R_B - \frac{1}{2} ql = 0, \quad \sum \text{Мом}A = R_B l + M - \frac{3}{8} ql \cdot \frac{l}{2} = 0,$$

откуда $R_A = 60 \text{ кН}$ и $R_B = 30 \text{ кН}$.

Предположим нагрузку q первого участка стержня ($0 < x < 0,5l$) на второй ($0,5l < x < l$) и для сохранения равнове-

22
 оля нагружен второй участ-к нагрузкой q , действующей сверху вниз (рис. I.11,б). Запишем уравнение для вычисления изгибающих моментов в одну строку:

$$M(x) = -R_0 + \frac{q x^2}{2} \Big|_{x=0,62} - \frac{q(x-0,62)^2}{2}$$

в строке сверху M (рис. I.11,в).

Уравнение изогнутой оси стержня на основании (I.17) имеет вид

$$v = v_0 + v_{x_0} x - \frac{R_0 x^3}{6EJ} + \frac{q x^4}{24EJ} \Big|_{x=0,62} - \frac{q(x-0,62)^4}{24EJ}$$

Подставим условия закрепления стержня в торцевых сечениях (при $x=0$ $v(0)=0$ и при $x=l$ $v(l)=0$) в уравнение изогнутой оси. Получим

$$v(0) = v_0 = 0; \quad v(l) = v_0 + v_{x_0} l^2 - \frac{R_0 l^3}{6EJ} + \frac{q l^4}{24EJ} - \frac{q(0,4l)^4}{24EJ} = 0.$$

Поскольку $v_0 = 0$, с учетом $EJ = E \pi d^4 / 64 = 6,43 \cdot 10^3 \text{ кН} \cdot \text{м}^2$ получаем

$$\theta_{x_0} = \frac{R_0 l^2}{6EJ} - \frac{q l^3}{24EJ} + \frac{2 q l^3}{1875EJ} = 0,0152 \text{ рад}$$

По знаку изгибающих моментов видно, что на большей части стержня $M < 0$, следовательно, изогнутая ось должна быть направлена выкрутостью вверх. Такому искривлению ось должна соответствовать перемещения $v > 0$. Экстремальным значением v в две очереди, соответствует угол поворота сечений $\theta_x = 0$. Определим расположение по длине таких сечений из второго универсального уравнения (I.17а), записываемого для θ_x малого стержня (θ_{x_0} найдено выше)

$$\theta_x = \theta_{x_0} - \frac{R_0 x^2}{2EJ} + \frac{q x^3}{6EJ} \Big|_{x=0,62} - \frac{q(x-0,62)^3}{6EJ}$$

Строим эскиз изменения θ_x по длине (рис. I.11,г) и, уточнив значения по универсальному уравнению, находим, что $\theta_x = 0$ только в одной точке $x = 2,3 \text{ м}$. Вычислим наибольшее вертикальное перемещение при $x = 2,3 \text{ м}$:

$$v_{\max} = v_0 + v_{x_0} \cdot 2,3 \cdot 10^3 - \frac{R_0 \cdot 2,3^3 \cdot 10^9}{6EJ} + \frac{q \cdot 2,3^4 \cdot 10^{12}}{24EJ} = 21,5 \text{ мм}$$

Жесткость стержня обеспечена, так как $v_{\max} < [\sigma] = 25 \text{ мм}$.
 Для уточнения изогнутой оси целесообразно найти v для точки перегиба ($x = 4,5 \text{ м}$, $M = 0$)

$$v(4,5) = v_0 + v_{x_0} \cdot 4,5 \cdot 10^3 - \frac{R_0 \cdot 4,5^3 \cdot 10^9}{6EJ} + \frac{q \cdot 4,5^4 \cdot 10^{12}}{24EJ} - \frac{q \cdot 1,8^4 \cdot 10^{12}}{24EJ} = 8,16 \text{ мм}$$

Этот перемещений v изображена на рис. I.11,д.

Проверить соответствие между M , θ_x и v самостоятельно.

ПРИМЕР 1.7. Построить изогнутую ось стержня, изображенного на рис. I.12, а по перемещениям v характерных точек (концы консолей, середина пролета, точки перегибов).

Дано: $l = 8 \text{ м}$; $P_1 = 20 \text{ кН}$; $P_2 = 95 \text{ кН}$; $P_3 = 30 \text{ кН}$; $M_1 = 30 \text{ кН} \cdot \text{м}$; $M_2 = 20 \text{ кН} \cdot \text{м}$; $q_1 = 20 \text{ кН/м}$; $q_2 = 10 \text{ кН/м}$; $EJ = 9,32 \cdot 10^3 \text{ кН} \cdot \text{м}^2$.

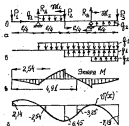


Рис. I.12. К примеру 1.7

Решение. Определим основные реакции из уравнений равновесия стержня:

$$\sum \text{Pr } W = -P_1 + R_A - q_1 \ell/2 - P_2 + R_B + q_2 \ell/2 - P_3 = 0;$$

$$\sum \text{Mom } B = P_1 \frac{3\ell}{4} - R_A \frac{\ell}{2} - q_1 \frac{\ell}{4} \frac{3\ell}{8} - M_1 - P_2 \frac{\ell}{4} + M_2 - q_2 \frac{\ell}{4} \frac{\ell}{8} + P_3 \frac{\ell}{4} = 0,$$

откуда $R_A = 100 \text{ кН}$ и $R_B = 50 \text{ кН}$.

Достроим распределение нагрузки, действующей на участке 2 ($\ell/4 < x < \ell/2$) стержня до правого конца в соответствии с требованиями к рисунку σ (рис. I.12,б).

Запишем уравнение для M в одну строку:

$$M(x) = -P_1(x) \Big|_{x=0/x} + R_A(x - \ell/4) - \frac{q_1(x - \ell/4)^2}{2} \Big|_{x=0/x} - M_1 - P_2(x - \ell/2) + \frac{q_2(x - \ell/2)^2}{2} \Big|_{x=M/4}$$

в строке эпюры (рис. I.12,в), учитывая на ней ординаты (x, M) характерных точек.

Уравнение изогнутой оси стержня имеет вид

$$V(x) = U_0 + \theta_{20} x - \frac{P_1 x^2}{2EI} \Big|_{x=0/x} + \frac{R_A(x - \ell/4)^3}{6EI} - \frac{q_1(x - \ell/4)^4}{24EI} - \frac{M_1(x - \ell/2)^2}{2EI} - \frac{P_2(x - \ell/2)^3}{24EI} + \frac{q_2(x - \ell/2)^4}{24EI} \Big|_{x=M/4}$$

Перемещение левого конца стержня $V(0) = U_0$ и $\theta_2(0) = \theta_{20}$ определяем из граничных условий при $x = \ell/4$ $V = 0$ и при $x = \ell/4$ $V = 0$. Получаем систему

$$U_0 + \theta_{20} \ell/4 - \frac{P_1 (\ell/4)^3}{6EI} = 0,$$

$$U_0 + \theta_{20} 3\ell/4 - \frac{P_1 (\ell/4)^3}{6EI} + \frac{R_A (\ell/2)^3}{6EI} - \frac{q_1 (\ell/2)^4}{24EI} - \frac{M_1 (\ell/2)^2}{2EI} - \frac{P_2 (\ell/2)^3}{6EI} + \frac{q_2 (\ell/2)^4}{24EI} = 0,$$

решая которую находим $U_0 = 2,14 \text{ мм}$, $\theta_{20} = 0,36 \cdot 10^{-3} \text{ рад}$. Весащем перемещения при $x_1 = 2,5\ell$ (левая точка перегиба), $x_2 = 4\ell$ (средняя точка), $x_3 = 4,9\ell$ (правая точка перегиба), $x_4 = 8\ell$ (конец правой консоли):

$$V(x_1) = U_0 + \theta_{20} x_1 - \frac{P_1 x_1^2}{6EI} + \frac{R_A(x_1 - \ell/4)^3}{6EI} - \frac{q_1(x_1 - \ell/4)^4}{24EI} = -2,54 \text{ мм};$$

$$V(x_2) = U_0 + \theta_{20} x_2 - \frac{P_1 x_2^2}{6EI} + \frac{R_A(x_2 - \ell/4)^3}{6EI} - \frac{q_1(x_2 - \ell/4)^4}{24EI} = -6,45 \text{ мм};$$

$$V(x_3) = U_0 + \theta_{20} x_3 - \frac{P_1 x_3^2}{6EI} + \frac{R_A(x_3 - \ell/4)^3}{6EI} - \frac{q_1(x_3 - \ell/4)^4}{24EI} + \frac{M_1(x_3 - \ell/2)^2}{2EI} - \frac{P_2(x_3 - \ell/2)^3}{6EI} + \frac{q_2(x_3 - \ell/2)^4}{24EI} = -3,25 \text{ мм};$$

$V(x_4) = -7,19 \text{ мм}$ (x_4 подставляем во все слагаемые общей формулы для $V(x)$). Изогнутая ось изображена на рис. I.12,г.

2. ДИНАМИЧЕСКИЕ НАГРУЖЕНИЯ СТЕРЖНЕВЫХ СИСТЕМ

Под динамическими нагрузками понимаются воздействия, при которых тела совершаются ускорения. В этом случае к напряжениям и перемещениям от статических нагрузок, учитываемым в статических расчетах, добавляются амплитуды и перемещения от сил инерции, обусловленных ускорениями. Наиболее характерными для стержневых систем являются следующие типы динамических задач.

1. Поступательное движение или вращение вокруг осей, которые происходят с известным и постоянным ускорением.
 2. Вынужденные колебания, при которых движение происходит со заданной амплитудой ускорения, изменяющейся по известному закону.
 3. Внезапный удар, движение после которого происходит при трудно поддающейся определению ускорениях.
- При разных подходах к решению указанных типов задач и

Большинство случаев практической работы могут быть сведены к определению коэффициента динамичности системы K_d . Под коэффициентом динамичности понимается величина, на которую следует умножить напряжение или перемещение статической нагруженной системы, чтобы получить напряжение или перемещение, соответствующее динамической нагрузке. Иными словами является величиной в числителе и знаменателе, для которых в статике напряжения и перемещения равны нулю.

При поступательном движении с постоянным ускорением a коэффициент динамичности системы

$$K_d = 1 \pm a/g, \quad (2.1)$$

где $g = 9,81 \text{ м/с}^2$ - ускорение силы тяжести.

Знаки "+" и "-" в (2.1) соответствуют соответственно для несомещения напряжений активной сил, учитываемых в статике, и сил инерции.

При рассмотрении свободных колебаний систем, приведенных к системам с одной степенью свободы, и пренебрежимо малым для внутреннего сопротивления на движение

$$K_d = \frac{1}{|1 - \omega^2/\omega_0^2|}, \quad (2.2)$$

где ω_0 - частота собственных колебаний нагруженной системы; ω - частота изменяющейся возмущающей силы.

При абсолютно неупругом ударе и пренебрежимо малой массой нагруженной системы по сравнению с массой падающего груза

$$K_d = 1 + \sqrt{1 + 2h/\Delta_{ст}}, \quad (2.3.а)$$

$$K_d = 1 + \sqrt{1 + \frac{V_{гг}^2}{g\Delta_{ст}}}, \quad (2.3.б)$$

где $\Delta_{ст}$ - перемещение системы в точке нагружения под действием статической приложенной нагрузки; h - высота, с которой падает груз; $V_{гг}$ - скорость падающего груза в момент соударения.

Во всех задачах предполагается, что напряженно-деформированное состояние динамически нагруженной системы, так же как и в статике является упругим.

ПРИМЕР 2.1. Лебедка весом P_A установлена на двух стержнях № 25/28 ($l = 12 \text{ м}$) и поднимает груз весом $P_{гг}$ с постоянным ускорением a , направленным вверх (рис.2.1,а). Определить максимальные динамические напряжения и перемещения для стержней стальной.

$$\text{Дано: } l = 12 \text{ м}; \quad P_A = 5 \text{ кН}; \quad P_{гг} = 30 \text{ кН}; \quad a = 4 \text{ м/с}^2; \quad [\sigma] = 200 \text{ МПа}.$$

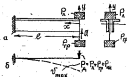


Рис.2.1. К примеру 2.1

P_A и a и h . Статические нагрузки на конце стержней определяются суммарной весом лебедки и груза:

$$P_{ст} = P_A + P_{гг} = 35 \text{ кН}.$$

Собственной весом стержней, равномерно распределенным по длине, пренебрегаем ввиду очень малого значения на определяемые напряжения и перемещения.

При подъеме груза с ускорением a помимо сил P_A и $P_{гг}$ на стержни действует сила инерции, направленная восточнее ускорения $P_{ин} = P_{гг} a/g$. Таким образом, общее усилие со стороны поднимаемого груза равно сумме $P_{гг} + P_{ин}$, а напряженно-деформированное состояние стержней определяется силой, которую можно представить в виде (рис.2.1,б).

$$P_{ст} = P_A + P_{гг} + P_{ин} = P_A + P_{гг} K_d,$$

где $K_d = 1 + a/g = 1 + 4/9,83 = 1,406$ - коэффициент динамичности системы.

Максимальный изгибаемый момент действует в зафиксированной стержней и при подвесе груза равен

$$M_{\max} = P_0 l = (5 + 30 \cdot 1,408) \cdot 1,5 = 70,9 \text{ кНм.}$$

Находим по сопротивлению для угла изгибаемого в плоскости бокового поворота $J = 3167 \text{ см}^4$ и $W = 180 \text{ см}^3$. Для одноосного угла попят инерция и момент сопротивления удваиваются. Тогда нормальные напряжения в опасном сечении рамы

$$\sigma_{\max} = \frac{M_{\max}}{2W} = \frac{70,9 \cdot 10^6}{2 \cdot 180 \cdot 10^3} = 192 \text{ МПа} < [\sigma],$$

и прочность стержней обеспечена.

Вертикальное перемещение v_{\max} на конце стержней определяется с помощью универсального уравнения эластичности оси, записываемого так же, как и в статических задачах. Принимая начало координат на правом конце стержней, имеем

$$v(x) = v_0 + \theta_{\max} x - \frac{P_0 x^3}{6EI(2l)}, \quad \theta_2(x) = \theta_{\max} - \frac{P_0 x^2}{2EI(2l)}.$$

Поскольку при $x=l$, $v=0$ и $\theta_2=0$, то после соответствующих подстановок получаем абсолютное перемещение конца на конце

$$v_{\max} = |v_0| = \frac{P_0 l^3}{3EI(2l)} = \frac{47,2 \cdot 10^3 \cdot 1,5^3 \cdot 10^9}{3 \cdot 2 \cdot 10^4 \cdot 2 \cdot 5,147 \cdot 10^7} = 4,22 \text{ мм.}$$

Примечание. При оценке прочности троса продольную силу для него следует считать равной $P_{\text{тр}} K_0$, а напряжением $\sigma = P_{\text{тр}} K_0 / F_{\text{тр}}$ ($F_{\text{тр}}$ - площадь сечения троса).

ПРИМЕР 2.2. Прямоугольный стальной стержень АВ длиной l укреплен на оси О-О и вращается вокруг нее, совершая n оборотов в минуту (рис.2.2,а). Проверить прочность стержня и вычислить радиальное перемещение α свободного торца.

Дано: $l = 2,5 \text{ м}$; $n = 600 \text{ об/мин}$; $[\sigma] = 100 \text{ МПа}$.

Решение. При вращении стержня в нем развиваются центробежные силы инерции, направленные от оси О-О в сторону точки В. На элемент длиной dx , расположенный на рас-

стоянии x от точки А, действует сила dP , равная произведению его массы dm на центростремительное ускорение a_c :

$$dP = \frac{\gamma}{g} F dx a_c, \quad a_c = \omega^2 x,$$

где $\gamma = 7,8 \cdot 10^5 \text{ Н/м}^3$ - удельный вес стали; $g = 9,81 \text{ м/с}^2$ - ускорение силы тяжести; F - площадь поперечного сечения; $\omega = \frac{2\pi n}{60} = 62,8 \text{ 1/с}$ - угловая скорость вращения стержня.

$$\text{Получаем } dP = a_c dm = \frac{\gamma}{g} F \omega^2 x dx.$$



Рис.2.2. К примеру 2.2

стоящему от оси инерции q изменяется вдоль стержня по линейному закону

$$q(x) = \frac{dP}{dx} = \frac{\gamma}{g} F \omega^2 x.$$

Виды q изображены на рис.2.2,б. Продольная сила N в поперечном сечении стержня определяется, как и в статике, методом сечений. Согласно схеме, изображенной на рис.2.2,в:

$$N = \frac{q(l) + q(x)}{2} (l-x) = \frac{\gamma F \omega^2}{2g} (l^2 - x^2).$$

Из схемы продольной сил (рис.2.2,в) видно, что максимальное значение N_{\max} соответствует опорному сечению ($x=0$):

$$N_{\max} = \frac{1}{2} \frac{\gamma}{g} F \omega^2 l^2.$$

Очевидно, что в этом же сечении возникает максимальное нормальное напряжение, т.е.

$$\sigma_{\max} = \frac{N_{\max}}{F} = \frac{l}{2} \frac{\gamma}{g} \omega^2 t^2.$$

Проверим выполнение условия прочности:

$$\sigma_{\max} = \frac{7,6 \cdot 10^{-5}}{2,9,81 \cdot 10^{-3}} 62,8^2 \cdot 2,5^2 \cdot 10^6 = 98 \text{ МПа} < [\sigma] = 100 \text{ МПа}.$$

При заданной скорости вращения прочность стержня обеспечена.

Определим радиальное перемещение u свободного торца по формуле, выведенной в формуле (I.7) для статической нагрузки:

$$u(t) = \int \frac{\gamma F \omega^2 (t^2 - x^2) dx}{2gEF} = \frac{\gamma \omega^2 t^4}{3gE} = \frac{7,6 \cdot 10^{-5} 62,8^2 2,5^2 \cdot 10^3}{3 \cdot 9,81 \cdot 10^8 \cdot 10^3} = 0,817 \text{ мм}.$$

Следует обратить внимание на то, что напряжения и перемещения в рассмотренном примере оказываются не зависящими от площади сечения стержня F .

ПРИМЕР 2.3. Для стержневой системы АВС, изображенной на рис.2.3,а, используя условие прочности, найти предельное число оборотов вращения n вокруг оси О-О и горизонтальное перемещение точки С. Стержень АВ считать абсолютно жестким; гибкой стальной стержень ВС — невесомым и несущим на конце торцевой груз Р.

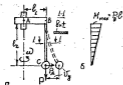


Рис.2.3. К примеру 2.3

Дано: $l_1 = 15 \text{ см}$; $l_2 = 50 \text{ см}$; $t = 5 \text{ см}$; $b = 24 \text{ мм}$;
 $P = 30 \text{ Н}$; $[\sigma] = 200 \text{ МПа}$.

Решение. Стержень ВС при вращении системы нагружен силой Р, направленной вниз, и центробежной силой инерции $P_9 = m \alpha_n$, направленной от оси вращения ($m = \frac{P}{g}$ — масса груза и $\alpha_n = \omega^2 r$ — центростремительное ускорение для груза, движущегося в горизонтальной плоскости).

Вес стержня ВС прямоугольного сечения $P_{ст} = \gamma b t l_2 = 7,8 \cdot 10^{-8} 24 \cdot 5 \cdot 500 = 4,68 \text{ Н}$. Приводя горизонтальные силы инерции, размыкающие по высоте стержня к точке С, получаем приведенную горизонтальную силу $P_{ст}^{прив} = \frac{1}{2} P_{ст} = 1,17 \text{ Н}$, которая составляет 3,9% от веса груза Р. Поэтому стержень можно считать невесомым.

Под сечением r в формуле для α_n следует понимать расстояние от оси вращения О-О до груза, определенное с учетом динамической нагибной деформации U_9 стержня ВС т.е.

$$r = l_2 + U_9.$$

Поскольку стержень ВС следует считать жестко заделанным в точке В, а его изгиб в плоскости наименьшей жесткости определяется сосредоточенной силой P_9 , действующей на конце, то с помощью универсального уравнения жесткой оси находим $U_9 = \frac{1}{3} P_9 l_2^3 / EJ$ и далее после подстановки в формулу для r , α_n и P_9 находим

$$P_9 = \frac{P}{9} \omega^2 \left(l_2 + \frac{P_9 l_2^3}{3EJ} \right).$$

Угловая скорость вращения $\omega = \frac{2\pi n}{60}$, момент инерции площади прямоугольного поперечного сечения $J = \frac{bt^3}{12}$, поэтому последняя формула для P_9 преобразуется к виду

$$P_9 = \frac{P}{\left[\left(\frac{30}{\pi n} \right)^2 \frac{P}{l_2} - \frac{40 P l_2}{E t^3} \right]}$$

Динамическая сила P_9 создает в сечении стержня ВС нагибные моменты, охара которых изображено на рис.2.3,б, причем $M_{\max} = P_9 l_2$ и соответствует верхней сечению В. Запишем для этого сечения условие прочности:

$$\sigma_{\max} = \frac{M_{\max}}{W} = \frac{P_2 l_2}{W} \leq [\sigma].$$

Мoment сопротивления сечения $W = \frac{\pi d^3}{32}$. Подстановка W и P_2 в условие прочности определит предельное число оборотов для рассматриваемой системы формулой

$$n = \frac{30}{\pi} \left(\sqrt{\frac{8Pl_2 l_1}{g \delta l^3 [\sigma]} + \frac{4Pl_2^2}{\pi \delta l^3 g}} \right)^{-1}.$$

После подстановки входных данных получаем $n_{\max} = 60,7$ об/сек. В формуле для n второе слагаемое подкоренного выражения соответствует учету динамического смещения груза M_2 от оси недеформированного стержня. Пренебрегая этим перемещением, получаем $n = 69,2$ об/сек $> n_{\max}$.

Находим перемещение точки C , соответствующее n_{\max} (выясним, что $P_2 l_2 = [\sigma] W$, откуда $P_2 = 40 \text{ нН} > P$):

$$v_C = \frac{P_2 l_2^2}{3EJ} = \frac{[\sigma] W l_2^2}{3EJ} = \frac{2[\sigma] l_2^3}{3EJ} = 33,3 \text{ мм}.$$

ПРИМЕР 2.4. Стержневая система (рис. 2.4, а) состоит из отталкивающихся элементов: вала AD диаметром D и жестко соединенного с ним ломаного стержня BC диаметром d . Определить предельное число оборотов в минуту вращения системы вокруг оси AD , исходя из условия $|\sigma|_{\max} \leq [\sigma]$.

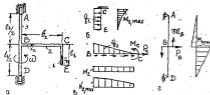


Рис. 2.4. К примеру 2.4

Задано: $l_1 = 20 \text{ см}$; $l_2 = 40 \text{ см}$; $l_3 = 50 \text{ см}$; $D = 40 \text{ мм}$; $d = 20 \text{ мм}$; $\gamma = 7,8 \cdot 10^{-5} \text{ Н/мм}^2$; $[\sigma] = 100 \text{ МПа}$.

Решение. Присмотрев стержень номера 1, 2, 3 к системе, что деформация каждого из них происходит в плоскости OXY (X_1 — продольная ось).

При вращении системы на элемент длины dx всех участков действует центробежная сила инерции $dP = a_n dm$, где

$$dm = \frac{\gamma}{g} F dx, \quad a_n = \omega^2 r.$$

Для участка CE : $F = \pi d^2/4$, $r = l_2$; для участка BC : $F = \frac{\pi d^2}{4}$, $0 < r < l_2$; для участка AD : $F = \frac{\pi D^2}{4}$, $r = 0$. Интенсивность сил инерции по длине участков

$$q = \frac{dP}{dx} = \frac{\gamma}{g} F \omega^2 r.$$

Рассмотрим нагрузку, условие прочности и определим предельное число оборотов вращения для каждого из составленных стержней.

Стержень CE . По длине участка интенсивность сил инерции q , постоянна, игибающий момент уменьшается по длине ($0 < x < l_2$) по закону

$$M_1 = \frac{q_1 x_1^2}{2}.$$

Схема нагрузки и эпюра моментов показаны на рис. 2.4, б. Получим

$$M_{1\max} = \frac{q_1 l_2^2}{2} = \frac{\gamma}{8g} \pi d^2 l_2^3 \omega^2.$$

Условие прочности длягибаемого стержня $\sigma_{1\max} = \frac{M_{1\max}}{W_1} \leq [\sigma]$. После подстановки $M_{1\max}$ и $W_1 = \pi d^3/32$ находим предельную угловую скорость вращения системы относительно оси AD :

$$\omega_{1\max} = \sqrt{\frac{[\sigma] g d}{4 \gamma l_2^3}} = \sqrt{\frac{100 \cdot 9,81 \cdot 10^3 \cdot 20}{4 \cdot 7,8 \cdot 10^{-5} \cdot 400 \cdot 4 \cdot 10^3}} = 62,7 \frac{1}{\text{с}}.$$

Стержень BC . По длине участка действует распределенная продольная нагрузка интенсивностью $q_2 = \frac{\gamma}{g} F \omega^2 x_2$

(см. пример 2.2), а в точке С приложены сила P_C и момент M_C , обусловленные нагрузкой q_1 на участке СЕ (рис.2.4,в):

$$P_C = q_1 l_2 = \frac{\gamma}{g} F \omega^2 l_2 l_1; \quad M_C = \frac{q_1 l_1^2}{2} = \frac{\gamma}{2g} F \omega^2 l_2 l_1.$$

Поэтому в сечении участка возникает переменно-продольная сила $N_x = P_C + \int_0^x q_1 dx$ и постоянный изгибающий момент $M_x = M_C$ (смотри на рис.2.4,в). Сечение ВС находится в условиях сложного сопротивления. Прочность проверяется формулой

$$\sigma_{z \max} = \frac{N_{z \max}}{F} + \frac{M_C}{W} \leq [\sigma],$$

где F и W — такие же, как и на участке СЕ.

После всех подстановок получаем для опасного сечения участка ($x=0$ — точка В)

$$\sigma_{z \max} = \frac{\gamma W}{2g} l_2^2 \left(1 + 2 \frac{l_1}{l_2} \right) + \frac{4\gamma}{g d} \omega^2 l_2 l_1 = [\sigma]$$

и далее

$$\omega_{z \max} = \sqrt{\frac{[g] g d}{4\gamma l_2 l_1} \left(\frac{l_2 d}{8 l_1} + \frac{d}{4 l_1} + 1 \right)^{-1}} = 81,2 \text{ 1/с.}$$

Стержень АВ. Поскольку $q_1 d$, то нагрузка участка обусловлена силой инерции, передаваемой в точке В со стороны участка ВС (рис.2.4,г): $P_B = N_{z \max} = \frac{\gamma}{g} F \omega^2 l_2^2 \left(1 + 2 \frac{l_1}{l_2} \right)$ — сила, вызывающая поперечный изгиб. $M_B = M_C$ — момент в точке В (смотри M_C на рис.2.4,г). Наибольший изгибающий момент возникает в сечении В и равен

$$M_{z \max} = \frac{M_B}{2} + \frac{P_B l_1}{4}.$$

После подстановки $M_{z \max}$ и $W_B = \frac{\pi R^3}{32}$ в условие прочности

$$\sigma_{z \max} = \frac{M_{z \max}}{W_B} = \frac{4\gamma}{g d} \omega^2 l_2 l_1 \left(\frac{1}{2} + \frac{l_2 l_1}{l_1} + 2 \frac{l_1}{l_2} \right) \left(\frac{d}{D} \right)^3 \leq [\sigma]$$

Находим

$$\omega_{z \max} = \sqrt{\frac{[g] g D}{4\gamma l_2 l_1} \left(\frac{1}{2} + \frac{l_2 l_1}{l_1} + 2 \frac{l_1}{l_2} \right)^{-1} \left(\frac{D}{d} \right)^3} = 50 \text{ 1/с.}$$

Таким образом, сравнивая $\omega_{z \max}$ найдем, что наибольшей угловой скоростью вращения системы ω_{\max} определяется условие прочности участка АВ и равна 50 1/с. Предыдущее число оборотов в минуту соответствует системе

$$n_{\max} = \frac{30 \omega_{\max}}{\pi} = 478 \text{ об/мин.}$$

ПРИМЕР 2.5. Для демонстрации упругих колебаний на дуговой стержень установлен электродвигатель весом P (рис.2.5,а). На расстоянии τ от оси электродвигателя закреплен нагруженный груз $Q \ll P$ (рис.2.5,б). Определите число оборотов электродвигателя, при котором наступит резонанс, и максимальный прогиб при заданном числе оборотов n .

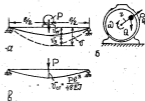


Рис.2.5. К примеру 2.5

Дано: дуговая $R=20$ ($F=25,8 \text{ см}^2$; $J_B=1840 \text{ см}^4$;
 $W=184 \text{ см}^3$); $l=3 \text{ м}$; $E=2 \cdot 10^5 \text{ МПа}$;
 $\gamma=7,8 \cdot 10^{-5} \text{ Н/см}^3$; $P=4 \text{ кН}$; $Q=40 \text{ Н}$;
 $\tau=5 \text{ см}$; $n=1000 \text{ об/мин.}$

Р е з о н а н с. При резонансе частота собственных колебаний системы и частота внешнего возмущающего сил совпадают, а перемещения и напряжения становятся очень большими. Найдем частоту собственных колебаний стержня с установленным на нем грузом, как для системы с одной степенью свободы:

$$\omega_c = \sqrt{\frac{C}{M}},$$

где C - жесткость стержня; $M = \frac{P}{g}$ - масса электромотора (массой стержня пренебрегаем).

Под жесткостью стержня следует понимать коэффициент пропорциональности между весом электромотора P и перемещением точки его приложения. Расчет показывает, что при статической нагрузке стержня (рис.2.5, в) в точке $x = l/2$ перемещение $u_{ст} = \frac{Pl^3}{48EI}$, откуда

$$C = \frac{P}{u_{ст}} = \frac{48EI}{l^3} = \frac{48 \cdot 2 \cdot 10^8 \cdot 1,84 \cdot 10^7}{27 \cdot 10^9} = 6,54 \cdot 10^8 \text{ Н/мм.}$$

Таким образом:

$$\omega_c = \sqrt{\frac{6,54 \cdot 10^8}{4 \cdot 10^3}} = 0,81 \cdot 10^3 = 127 \text{ 1/с.}$$

Резонанс в системе стержень - электромотор наступит, если число оборотов электромотора совпадет с резонансным:

$$n_{рез} = \frac{30 \omega_c}{\pi} = \frac{30 \cdot 127}{3,14} = 1215 \text{ об/мин.}$$

При заданном числе оборотов $n = 1000$ об/мин частота внешнего возмущающего силы равен

$$\omega = \frac{\pi n}{30} = \frac{3,14 \cdot 1000}{30} = 105 \text{ 1/с.}$$

При включенном электромоторе максимальный прогиб (при $x = l/2$) определяется суммой $u = u_{ст} + u_d$, где $u_{ст}$ - статический прогиб стержня, обусловленный весом электромотора; u_d - динамический прогиб (амплитуда вынужденных колебаний), обусловленной воздействием при вращении груза D вокруг электромотора (рис.2.5, б) центробежной силой P_d :

$$P_d = \frac{G}{g} \omega^2 r = \frac{40}{9,81 \cdot 10^3} \cdot 105^2 \cdot 50 = 2247 \text{ Н.}$$

Статический прогиб $u_{ст}^d$ стержня, соответствующий силе P_d , вычисляем по формуле, аналогичной прогибу $u_{ст}$ от силы P :

$$u_{ст}^d = \frac{P_d}{C} = \frac{4 \cdot 10^3}{6,54 \cdot 10^8} = 0,61 \text{ мм; } u_{ст}^d = \frac{P_d}{C} = \frac{2247}{6,54 \cdot 10^8} = 0,343 \text{ мм.}$$

Коэффициент динамичности системы определяется формулой (2.2)

$$k_d = \left[1 - \left(\frac{105}{127} \right)^2 \right]^{-1} = 3,16.$$

Поэтому динамический прогиб стержня равен

$$u_d = k_d u_{ст}^d = 3,16 \cdot 0,343 = 1,084 \text{ мм}$$

и максимальный прогиб

$$u = u_{ст} + k_d u_{ст}^d = 0,61 + 1,084 = 1,695 \text{ мм.}$$

ПРИМЕР 2.6. На двухконсольный двутавр AD падает груз весом P с высоты h (рис.2.6, а). Определить:

- 1) максимальное напряжение в стержне и перемещение точки A ;
- 2) жесткость стержня C , устанавливаемой вместо правой консольной опоры, при которой перемещение точки A не превышает величины Δ .



Рис.2.6. К примеру 2.6

Задача: диаметр $\varnothing 20$ ($F = 12 \text{ см}^2$, $J = 198 \text{ см}^4$,
 $W = 39,6 \text{ см}^3$); $[\sigma] = 200 \text{ МПа}$; $\xi = 2$ м;
 $h = 30 \text{ мм}$; $P = 1 \text{ кН}$; $\Delta = 1 \text{ мм}$; $\gamma = 28 \cdot 10^{-5} \text{ Н/мм}^2$.

Р е ш е н и е. Общий вес стержня $P_{ст} = \gamma F \xi = 0,187 \text{ кН}$ значительно меньше P и равномерно распределен по длине, его действием на напряженно-деформированное состояние пренебрегаем.

Определим наибольшее динамическое напряжение $\sigma_{d, \max}$ в стержне по формуле

$$\sigma_{d, \max} = K_d \sigma_{ст, \max},$$

где для $|2h/v_{ст}^2| \gg 1$ коэффициент динамичности системы равен

$$K_d = 1 + \sqrt{2h/v_{ст}^2};$$

$\sigma_{ст, \max}$ и $v_{ст}^2$ — наибольшее напряжение и абсолютное перемещение точки D стержня, нагруженного статической продольной силой P (рис.2.6,б). При статической нагрузке опорные реакции равны $R_A = -P/2$, $R_C = 3P/2$. Стержень опоры изгибаемых моментов (рис.2.6,в) и в опасном сечении C, где наибольший изгибаемый момент $M_{ст, \max} = Pl/4 = 0,3 \text{ кН}\cdot\text{м}$, находим напряжение

$$\sigma_{ст, \max} = \frac{M_{ст, \max}}{W} = \frac{0,3 \cdot 10^6}{39,6 \cdot 10^3} = 7,6 \text{ МПа}.$$

Видно, что $\sigma_{ст, \max} \ll [\sigma]$, значит, прочность стержня обеспечена и статической нагрузке соответствует упругий деформации. Для определения статических перемещений запишем уравнение изогнутой оси, приняв за начало координат точку D:

$$v_{ст}(x) = v_{ст0} + x \cdot \frac{Px^2}{6EJ} + \frac{R_C(x-l/4)^2}{6EJ} + \frac{R_A(x-3l/4)^2}{6EJ}$$

Находим перемещение $v_{ст}$ и угол поворота $\theta_{ст0}$ сечения D из условия закрепления ($v = 0$ при $x=l/4$ и $x=3l/4$)

$$v_{ст0} = -\frac{Pl^3}{64EJ} = -0,315 \text{ мм}, \quad \theta_{ст0} = \frac{7Pl^2}{96EJ} = 7,36 \cdot 10^{-4} \text{ рад}.$$

Подставим заданную высоту падения h и абсолютную величину перемещения точки D в формулу для коэффициента динамичности ($|v_{ст}^2| = |v_{ст}|$)

$$K_d = 1 + \sqrt{\frac{2 \cdot 30}{0,315}} = 14,8.$$

Проверим выполнение условия прочности при ударе

$$\sigma_{d, \max} = 14,8 \cdot 7,6 = 116 \text{ МПа} < [\sigma] = 200 \text{ МПа}$$

и найдем абсолютную величину динамического перемещения (направлено вниз) точки A:

$$|v_A^d| = K_d |v_A^ст|,$$

где статическое перемещение точки A, определяется по уравнению изогнутой оси при $x=l$

$$v_{ст}^A = -\frac{Pl^3}{192EJ} = -0,105 \text{ мм}.$$

После подстановки

$$|v_A^d| = 14,8 \cdot 0,105 = 1,56 \text{ мм}.$$

Для уменьшения динамического перемещения точки A край неподвижного опора заменится пружиной, жесткость которой обозначим C (рис.2.6,г). При статическом нагружении системы в этом случае реакции R_A и R_C , моменты $M_{ст}$ и напряжения $\sigma_{ст}$ не изменятся, а перемещение изменится на величину, соответствующую повороту стержня относительно точки B как абсолютно жесткого тела ($EJ \rightarrow \infty$) на угол $\theta_{A20} = |v_{ст}^A|/0,5l$, где $v_{ст}^A = R_C/l = 3P/2C$. Таким образом, $\theta_{A20} = 3P/C\xi$. Суммарные абсолютные перемещения в точках A и D, определяемые статическими нагрузками для стержня на неподвижном опоре (рис.2.6,б) абсолютно жесткого стержня на подвижном опоре в точке C (рис.2.6,г), находим абсолютные статические перемещения для упругодеформируемого стержня на подвижной опоре B:

$$|v_{ст}^A| = |v_{ст}^A| + \theta_{A20} \cdot 3l/4 = \frac{Pl^3}{64EJ} + \frac{9P}{4C};$$

$$\bar{v}_{cr}^A = v_{cr}^A - v_{Ao} \frac{R}{4} = \frac{PR^3}{64IZ} - \frac{3P}{4C}$$

Коэффициент деформации системы с подвальной опорой и абсолютное перемещение точки А равно

$$\kappa_3 = 1 + \sqrt{\frac{2R}{|\bar{v}_{cr}^A|}} \cdot \left| \bar{v}_3^A \right| - \kappa_2 \cdot \left| \bar{v}_{cr}^A \right|$$

После всех подстановок имеем

$$\left| \bar{v}_3^A \right| = \left(1 + \sqrt{\frac{2 \cdot 30}{0,315 \cdot \frac{9 \cdot 10^3}{4C}}} \right) (0,105 - \frac{3 \cdot 10^3}{4C})$$

В табл. 3.1 указаны перемещения $\left| \bar{v}_3^A \right|$ для 4-х значений жесткости C .

Таблица 3.1

$C, \text{E/см}$	8700	7500	6250	5000
$\left \bar{v}_3^A \right , \text{мм}$	1,135	1,072	0,900	0,667

После уточнений находим $\left| \bar{v}_3^A \right| = 1 \text{ мм}$ при $C = 6400 \text{ E/см}$.

3. АНАЛИЗ НАПРЯЖЕННОГО СОСТОЯНИЯ В ТОЧКЕ.

РАСЧЕТЫ НА ПРОЧНОСТЬ В ОБЛАСТИ СЕРЬЕЗНОГО НАПРЯЖЕНИЯ

В предыдущих главах были рассмотрены задачи определения напряжений и расчетов на прочность при простых видах нагружения. При этом определялись необходимые для всего стержня нормальные и касательные напряжения и обеспечивалась удовлетворенная условная прочность $\sigma_{\text{зад}} \leq [\sigma]$, $\tau_{\text{зад}} \leq [\tau]$. Однако в расчетах не учитывалось, действует ли нормальное и касательные напряжения одновременно в одной точке или в различных точках стержня по отдельности.

Очевидно, что для оценки прочности в общем случае нагружения необходимо анализ напряженного состояния в точке.

3.1. Основы положения теории напряженного состояния

В деформированном теле при воздействии на него системы сил возникает напряжение. Их величина и направление определяются как объективными (например, механика связей, геометрия стержня, системами его закрепления), так и субъективными факторами (подвижность точки и ориентация сечения, проведенного через нее).

При расчете стержневой системы составляется расчетная схема, для ее элементов строится схема нагружения силами факторов, видоизменяющаяся по мере движения одну или несколько наиболее нагруженных зон, расположенных в определенных различных точках продольной оси стержня. В такой зоне, в первую очередь, проводится поперечное сечение, т.е. сечение, перпендикулярное продольной оси стержня. В этом сечении выделяется нормальное и касательное напряжения в заданной точке, где величина σ и τ достигают максимальных значений, либо наблюдается наиболее неблагоприятное состояние. Для исследования напряженного состояния в окрестности точки выделено напряжение бесконечно малый параллелепипед, левая грань которого совпадает с поперечным сечением, а боковые - параллельны двум главным осям этого сечения. На всех шести гранях параллелепипеда в общем случае могут действовать одновременно нормальные и касательные напряжения, как это показано на рис. 3.1, а. Величина напряженного состояния, представляемого в таком виде, заурядительно. При изменении ориентации выделенного параллелепипеда на его гранях будут наблюдаться напряжения, отличающиеся от предыдущих не только величиной, но, возможно, и знаком.

В теории упругости доказывается, что через любую точку можно провести три взаимно перпендикулярные плоскости, ориентированные таким образом, что на них действуют только нормальные напряжения (рис. 3.1, б). Такие плоскости называются главными, соответственно напряжения - главными напряжениями. Самыми важными свойствами главных плоскостей являются то, что главные напряжения являются экстремальными из всех нормальных напряжений, действующих в различных плоскостях, проведенных через ту же точку. Наибольшее в алгебраическом смысле главное напряжение обозначается σ_1 , наименьшее - σ_2 , промежуточное - σ_3 .

На рис. 3.1, б показаны главные напряжения в предположении, что все они растягивающие, т. е. $\sigma_1 > \sigma_2 > \sigma_3 > 0$, хотя возможен случай, когда одна из них либо все они отрицательны, т. е. сжимающие.

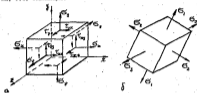


Рис. 3.1. Напряжения на гранях элементарного параллелепипеда: а - с гранями из плоскостей общего положения; б - с гранями из главных плоскостей.

При деформации параллелепипеда общего положения изменяется длина его ребер (действие нормальных напряжений), а также углы между ними (действие касательных напряжений). При упругом состоянии изотропного материала относительные удлинения по координатным осям и углы сдвига связаны с нормальными и касательными напряжениями зависимостями обобщенного закона Гука для изотропного тела:

$$\begin{aligned} \epsilon_x &= \frac{1}{E} (\sigma_x - \mu(\sigma_y + \sigma_z)); & \gamma_{xy} &= \frac{1}{G} \tau_{xy}; \\ \epsilon_y &= \frac{1}{E} (\sigma_y - \mu(\sigma_x + \sigma_z)); & \gamma_{yz} &= \frac{1}{G} \tau_{yz}; \\ \epsilon_z &= \frac{1}{E} (\sigma_z - \mu(\sigma_x + \sigma_y)); & \gamma_{zx} &= \frac{1}{G} \tau_{zx}; \end{aligned} \quad (3.1)$$

где E - модуль Юнга; G - модуль сдвига; μ - коэффициент Пуассона.

Под действием главных напряжений соответствующий элементарный параллелепипед деформируется без искривлений, оставаясь прямоугольным. Относительные удлинения по направлениям главных осей называются главными деформациями, обозначаются соответственно действующим по тем же направлениям главными напряжениями и отмечаются условно $\delta_1 > \delta_2 > \delta_3$.

Обобщенный закон Гука в этом случае имеет вид

$$\begin{aligned} \delta_1 &= \frac{1}{E} (\sigma_1 - \mu(\sigma_2 + \sigma_3)); \\ \delta_2 &= \frac{1}{E} (\sigma_2 - \mu(\sigma_3 + \sigma_1)); \\ \delta_3 &= \frac{1}{E} (\sigma_3 - \mu(\sigma_1 + \sigma_2)). \end{aligned} \quad (3.2)$$

Напряженное состояние, при котором все три главные напряжения отличны от нуля, называется объемным, или трехосным. Если одно из главных напряжений равно нулю, напряженное состояние называется плоским, или двухосным. Если же отсутствуют два главных напряжения, то напряженное состояние называется линейным, или одноосным.

В большинстве случаев расчета стержневых систем известно положение хотя бы одной главной плоскости. Более того, часто всего соответствующая ей главное напряжение равно нулю.

Ниже будет показано, что для выполнения расчетов на прочность в сложном напряженном состоянии необходимо знать величины всех главных напряжений.

Допустим, в окрестности некоторой точки произвольно нагруженного стержня

(рис. 3.2) выделен элементарный параллелепипед с ориентацией его граней по координатным осям. Предположим, что ось z совпала со второй главной осью, следовательно, в перпендикулярной его плоскости отсутствуют σ_z и касательные напряжения.

В частности, возможно, что $\sigma_x = 0$. На отвлечемся далее на вторую главную плоскость, вращением элемента вокруг оси x совместим остальные две грани с главными плоскостями. На плоской картинке (рис. 3.3) полагаем векторы напряжений $\sigma_x, \sigma_y, \tau_{xy} = \tau_{yx}$ положительными направлением, а также $\alpha > 0$, если поворот оси x к главной оси происходит

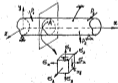


Рис. 3.2. Исследование напряженного состояния в окрестности точки А произвольно нагруженного стержня.

по часовой стрелке. Главные напряжения вычисляются по форму-

28

$$\sigma_{1,2} = \frac{\sigma_x + \sigma_y}{2} \pm \frac{1}{2} \sqrt{(\sigma_x - \sigma_y)^2 + 4\tau_{xy}^2}. \quad (3.3)$$



Рис. 3.3. Поворот осей главных напряжений к главным плоскостям

Если $\sigma_x > \sigma_y$, то поворот осей x приводит к первой главной оси, если $\sigma_x < \sigma_y$ - то к третьей. Угол поворота можно вычислять по формуле

$$\operatorname{tg} 2\alpha = \frac{2\tau_{xy}}{\sigma_x - \sigma_y}. \quad (3.4)$$

3.2. Вопросы о расчетах на прочность при сложном напряженном состоянии

Механические характеристики материалов определяются при испытаниях гладких образцов на одноосное растяжение и сжатие до разрушения. Допускаемые напряжения вычисляются с учетом коэффициента запаса из величин опытных для данного материала напряжений: $[\sigma] = \sigma_{оп}/k$. В качестве $\sigma_{оп}$ принимают предел текучести σ_T для пластичных материалов и предел прочности $\sigma_{пр}$ для хрупких. Величинами σ_T и $\sigma_{пр}$ могут быть заменены при растяжении и сжатии для одного и того же материала.

Для деталей, материал которых находится в одноосном на-

пряженном состоянии, расчет прочности не вызывает затруднений.

Для оценки опасности плоского или объемного напряженного состояния экспериментальный путь направляет из-за бесконечного числа состояний между главными напряжениями, а также уменьшения к высокой цене испытаний. Теоретический подход к данной проблеме позволяет на основании тех или иных критериев обработать эквивалентные напряжения, вычисленные комбинациями действующих главных напряжений. Именно эти эквивалентные напряжения и сравниваются с опасным, полученным при простейшем одноосном испытании. Из всего многообразия теорий пределов состояний выдвинули пять наиболее известных. Эквивалентные напряжения по четвертой (классической) теории принято индексировать римскими цифрами. Сущность основных критериев наступления опасного состояния, приведен соответствующим образом в таблице.

Для хрупких материалов:

$$\sigma_1 = \sigma_1 \leq [\sigma];$$

$$\sigma_1 = \sigma_1 - \mu(\sigma_1 + \sigma_3) \leq [\sigma], \quad [\sigma] = \sigma_{пр}/k. \quad (3.5)$$

Гипотеза, положенная в основу теорий, по которым получены формулы (3.5), имеет настолько серьезные недостатки, что их сейчас не используют.

Для пластичных материалов:

$$\sigma_2 = \sigma_1 - \sigma_3 \leq [\sigma]; \quad (3.6)$$

$$\sigma_2 = \frac{1}{\sqrt{2}} \sqrt{(\sigma_1 - \sigma_2)^2 + (\sigma_2 - \sigma_3)^2 + (\sigma_3 - \sigma_1)^2} \leq [\sigma]. \quad (3.7)$$

Здесь $[\sigma] = \sigma_T/k_T$; $\sigma_T = \sigma_T^0$ - предел текучести при растяжении; k_T - коэффициент запаса.

Для материала с одинаковым пределом текучести на растяжение и сжатие эти теории дают неплохие результаты. Наибольшее расхождение в величинах $\sigma_{экв}$ по формулам (3.6) и (3.7) достигает 15,4% при чистом сдвиге.

По общепринятой сегодня теории Мора

$$\sigma_{экв} = \sigma_1 - \mu\sigma_3 \leq [\sigma]. \quad (3.8)$$

Условия прочности (3.6) применимо для кручения и пластичных материалов. Коэффициент n равен отношению опасного напряжения при растяжении к его величине при сжатии:

$$n = \frac{\sigma_{\text{р}}}{\sigma_{\text{с}}}; \quad (3.9)$$

$$n = \frac{\sigma_{\text{р}}}{\sigma_{\text{сн}}}$$

для пластичных и для крутящих материалов соответственно.

У крутящих материалов $n=1$ всегда, а у пластичных $n=1$, причем при $n=1$ условия (3.6) и (3.6) совпадают.



Рис. 3.4. Частный случай плоского напряженного состояния

В практических расчетах часто приходится встретиться с частным видом плоского напряженного состояния, показанного на рис. 3.4. Оно наблюдается при плоском поперечном изгибе, при одновременном кручении и изгибе (или растяжении - сжатии). В этом случае по формуле (3.3) главные напряжения

$$\sigma_1 = \frac{\sigma}{2} + \sqrt{\frac{\sigma^2}{4} + \tau^2}; \quad \sigma_2 = 0; \quad \sigma_3 = \frac{\sigma}{2} - \sqrt{\frac{\sigma^2}{4} + \tau^2}. \quad (3.10)$$

Условия прочности (3.6) - (3.8) в этом случае приобретают вид

$$\sigma_{\text{н}} = \sqrt{\sigma^2 + 4\tau^2} \leq [\sigma]; \quad (3.11)$$

$$\sigma_{\text{р}} = \sqrt{\sigma^2 + 3\tau^2} \leq [\sigma]; \quad (3.12)$$

$$\sigma_{\text{сн}} = \frac{1-n}{2} \sigma + \frac{1+n}{2} \sqrt{\frac{\sigma^2}{4} + \tau^2} \leq [\sigma]. \quad (3.13)$$

3.3. Примеры решения задач при сложном напряженном состоянии

В части II настоящих методических указаний в параграфе 3.2 разобраны три примера решения задач с использованием критерия прочности (3.6) и (3.7) в их модифицированном виде (3.11) и (3.12). Подстановка значений нормальных напряжений от изгиба и касательных от кручения позволила выделить эквивалентный расчетный момент, названный в (2.8) или (2.9).

Ниже приводятся в более полном объеме примеры расчетов прочности при сложном напряженном состоянии.

ПРИМЕР 3.1. Сравнить напряженное состояние, показанное на рис. 3.5. Материал - высокопластичный.

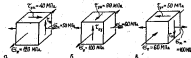


Рис. 3.5. К примеру 3.1

Решение. У материалов, обладающих высокой пластичностью, значения предела текучести на растяжение и сжатие одинаковы. Используем в критерий, при котором эквивалентное напряжение $\sigma_{\text{н}} = \sigma_1 - \sigma_3$. В каждом из трех напряженных состояний момент по одной площадке, в которой отсутствуют касательные напряжения, следовательно, она - главная, а нормальное напряжение в ней - главное напряжение. Для остальных в каждом случае подлежат определению. Проверим, так ли мы поступим лишь после вычисления значений всех главных напряжений. Используем формулу (3.3), в которой заменим стандартную индексацию на условную:

$$a) \quad \sigma^1 = \frac{50 + 0}{2} + \frac{1}{2} \sqrt{(50 - 0)^2 + 4 \cdot 40^2} = 25 + 47,2 = 72,2 \text{ МПа};$$

$$\sigma^2 = 25 - 47,2 = -22,2 \text{ МПа};$$

$$\sigma^3 = 120 \text{ МПа};$$

$$\sigma_1 = 120 \text{ МПа}, \quad \sigma_2 = 72,2 \text{ МПа}, \quad \sigma_3 = -22,2 \text{ МПа};$$

$$\sigma_{II} = 120 - (-22,2) = 142,2 \text{ МПа}$$

$$\sigma' = 60 \text{ МПа};$$

$$\sigma'' = \frac{\sigma_1 - \sigma_3}{2} + \frac{1}{2} \sqrt{(\sigma_1 - \sigma_3)^2 + 4\tau^2} = 90 + 103 = 193 \text{ МПа};$$

$$\sigma''' = 90 - 103 = -13 \text{ МПа};$$

$$\sigma_1 = 193 \text{ МПа}, \quad \sigma_2 = 60 \text{ МПа}, \quad \sigma_3 = -13 \text{ МПа};$$

$$\sigma_{II} = 193 - (-13) = 206 \text{ МПа}.$$

$$\sigma' = -60 \text{ МПа};$$

$$\sigma'' = \frac{100 - 0}{2} + \frac{1}{2} \sqrt{(100 - 0)^2 + 4 \cdot 50^2} = 50 + 70,7 = 120,7 \text{ МПа};$$

$$\sigma''' = 50 - 70,7 = -20,7 \text{ МПа};$$

$$\sigma_1 = 120,7 \text{ МПа}, \quad \sigma_2 = -20,7 \text{ МПа}, \quad \sigma_3 = -60 \text{ МПа};$$

$$\sigma_{II} = 120,7 - (-60) = 180,7 \text{ МПа}.$$

Из сравнения величин σ_{II} , следует, что напряженные состояния можно расположить в следующем порядке по степени убывания их нагруженности: б), а), а').

ПРИМЕР 3.2. Сравнить по III и IV критериям опасности заданных напряженных состояний (рис.3.6).

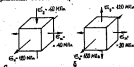


Рис.3.6. К примеру 3.2

Решение. На гранях заданых элементов в обоих случаях отсутствуют касательные напряжения, следовательно, все наблюдаемые площадки – главные. Главные напряжения:

$$a) \sigma_1 = 120 \text{ МПа}; \quad \sigma_2 = 40 \text{ МПа}; \quad \sigma_3 = -40 \text{ МПа};$$

$$б) \sigma_1 = 100 \text{ МПа}; \quad \sigma_2 = 120 \text{ МПа}; \quad \sigma_3 = 20 \text{ МПа}.$$

Используя формулы (3.6) и (3.7), вычислим эквивалентные напряжения:

$$a) \sigma_{II} = 120 - (-40) = 160 \text{ МПа};$$

$$\sigma_{II} = \frac{1}{\sqrt{2}} \sqrt{(120 - 40)^2 + (40 - (-40))^2 + (-40 - 120)^2} = 150,5 \text{ МПа}.$$

$$б) \sigma_{II} = 100 - 20 = 120 \text{ МПа};$$

$$\sigma_{II} = \frac{1}{\sqrt{2}} \sqrt{(100 - 120)^2 + (120 - 20)^2 + (20 - 100)^2} = 140 \text{ МПа}.$$

Итак, по III критерию состояние материала равноопасно, а по IV критерию опаснее второе.

ПРИМЕР 3.3. Определить, какое из заданных на рис.3.7 напряженных состояний опаснее. В обоих случаях материалы имеют ограниченную пластичность. Пределы текучести:

$$\text{в 1-м случае} - \sigma_1^* = 240 \text{ МПа}, \quad \sigma_2^* = 300 \text{ МПа};$$

$$\text{во 2-м случае} - \sigma_1^* = 420 \text{ МПа}, \quad \sigma_2^* = 300 \text{ МПа}.$$

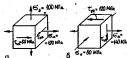


Рис.3.7. К примеру 3.3

Решение. Определим главные напряжения:

$$a) \sigma' = 100 \text{ МПа};$$

$$\sigma'' = \frac{120}{2} + \frac{1}{2} \sqrt{120^2 + 4 \cdot 60^2} = 60 + 64,9 = 124,9 \text{ МПа};$$

$$\sigma''' = 60 - 64,9 = -24,9 \text{ МПа};$$

$$\sigma_1 = 124,9 \text{ МПа}; \quad \sigma_2 = 100 \text{ МПа}; \quad \sigma_3 = -24,9 \text{ МПа}.$$

$$b) \sigma' = -80 \text{ МПа};$$

$$\sigma'' = \frac{140}{2} + \frac{1}{2} \sqrt{(140)^2 + 4 \cdot 120^2} = 70 + 130,9 = 200,9 \text{ МПа};$$

$$\sigma''' = 70 - 130,9 = -68,9 \text{ МПа};$$

$$\sigma_1 = 200,9 \text{ МПа}, \sigma_2 = -68,9 \text{ МПа}, \sigma_3 = -80 \text{ МПа}.$$

Коэффициент n в формуле (3.8) и эквивалентное напряжение по критерию Мора, наиболее подходящему в таких случаях напряженного состояния:

$$a) n = 240/900 = 0,3, \sigma_{\text{экв}} = 144,9 \cdot 0,3 = 43,47 \text{ МПа},$$

$$\text{имеющей запас прочности } k = \sigma'_t / \sigma_{\text{экв}} = 240 / 152,4 = 1,57;$$

$$b) n = 420/900 = 0,467, \sigma_{\text{экв}} = 208,9 \cdot 0,467 = 97,2 \text{ МПа},$$

$$k = 420 / 246,2 = 1,71.$$

Итак, запас прочности во 2-м случае выше.

ПРИМЕР 3.4. На загнутый прямоугольный брусок, работающий без зазоров и ската в направлении оси x , действует давление, распределенное по торцам и верхней поверхности (рис. 3.8, а). Определить, при каком значении параметра q материал бруска выйдет за пределы пластического деформации. Дано: $\sigma_T = 170 \text{ МПа}$; $E = 1 \cdot 10^5 \text{ МПа}$, $\mu = 0,34$.

Трением между бруском и опорами пола пренебречь.

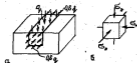


Рис. 3.8. К примеру 3.4

Решение. На торцах и верхней грани отсутствуют нагрузки, вызывающие касательные напряжения. Полагая напряженное состояние бруска однородным, приходим к заключению, что все грани любого элементарного параллелепипеда, параллельные граням бруска, являются главными плоскостями (рис. 3.8, б). При этом два главных напряжения известны: $\sigma' = \sigma_y = -q$; $\sigma'' =$

$= \sigma_x = -0,6q$, а третье $\sigma''' = \sigma_z$ подлежит определению. Поскольку масса жесткая, поперечный размер бруска постоянным не может, т.е. $\epsilon_z = 0$. Используем выражение закона Гука (3.1):

$$\epsilon_z = \frac{1}{E} (\sigma_z - \mu (\sigma_y + \sigma_x)).$$

Приравняв нулю правую часть, сократим так и же приходящий нам модуль Юнга. В итоге

$$\sigma_z - \mu (\sigma_y + \sigma_x) = 0,34 (-q - 0,6q) = -0,544q.$$

Итак, главные напряжения $\sigma_1 = -0,544q$; $\sigma_2 = -0,6q$; $\sigma_3 = -q$. По III критерию эквивалентное напряжение $\sigma_{\text{экв}} = 0,456q$. Обратим внимание на то, что минимальные напряжения по любой плоскости не могут быть отрицательными.

Переход материала бруска из упругого в пластическое состояние происходит при достижении величиной $\sigma_{\text{экв}}$ значения предела текучести σ_T , т.е. при $\sigma_{\text{экв}} = \sigma_T$. Отсюда

$$q = \sigma_T / 0,456 = 170 / 0,456 = 372,8 \text{ МПа}.$$

ПРИМЕР 3.5. Определить положение главных плоскостей и главных напряжений в случае плоского чистого сдвига (рис. 3.9, а). Считая известным значение предела текучести σ_T при растяжении или сжатии, найти предел текучести τ_T . Сравнить результаты, полученные по II и III критериям.



Рис. 3.9. К примеру 3.5

Решение. В данном случае $\sigma_x = \sigma_y = 0$; $\tau_{xy} = \tau$. По формуле (3.3) главные напряжения

$$\sigma_{1,2} = \frac{0+0}{2} \pm \frac{1}{2} \sqrt{(0-0)^2 + 4\tau^2} = \pm \tau.$$

Таким образом: $\sigma_1 = \tau$, $\sigma_2 = 0$, $\sigma_3 = -\tau$.

По формуле (3.4)

$$\operatorname{tg} 2\alpha = \frac{2\tau_{\max}}{\sigma_1 - \sigma_3} = \frac{2\tau}{0} = \infty, \text{ т.е. } 2\alpha = 90^\circ, \alpha = 45^\circ.$$

Изображение главного элемента в тех же осях представлено на рис. 3.9, б. По формулам (3.6) и (3.7)

$$\sigma_B = \tau - (-\tau) = 2\tau;$$

$$\sigma_B = \frac{1}{\sqrt{2}} \sqrt{\tau^2 + \tau^2 + 4\tau^2} = \tau\sqrt{3}.$$

Приравняв эквивалентное напряжение σ_B , получаем

по III критерия: $2\tau_B = \sigma_T$, $\tau_B = 0,5\sigma_T$;

по IV критерия: $\tau_B\sqrt{3} = \sigma_T$, $\tau_B = 0,577\sigma_T$.

Сравниваем полученные величины:

$$\frac{0,577\sigma_T - 0,5\sigma_T}{0,5\sigma_T} \cdot 100\% = 14,4\%.$$

ПРИМЕР 3.6. Для заданной на рис. 3.10, а балки из стали с допустимым напряжением $[\sigma] = 200 \text{ МПа}$:

1) подобрать на условия прочности двутавровое сечение;

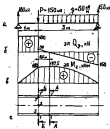


Рис. 3.10. К примеру 3.6

2) произвести стандартную проверку прочности по σ_{\max} и τ_{\max} ;

3) указать сечение с неблагоприятным сочетанием внутренних силовых факторов, произвести полную проверку прочности по опасной точке в нем.

Решение. Для определения расчетов (наибольшего) значения изгибающего момента M_{\max} и поперечной силы Q_{\max} необходимо, в первую очередь, определить реакции опор и построить эпюры M_x и Q_y . Решения таких задач рассмотрено в частях I настоящих методических указаний в главах 2 и 3. Поэтому здесь опускаем соответствующие расчеты. Эпюры M_x и Q_y показаны на рис. 3.10, б, в.

Из эпюр видно, что $M_{\max} = 187,5 \text{ кН}\cdot\text{м}$; $Q_{\max} = 180 \text{ кН}$. При подборе сечения достаточно длинных балок основным является условие прочности по нормальным напряжениям:

$$\sigma_{\max} = \frac{M_{\max}}{W_x} \leq [\sigma], \text{ откуда } W_x \geq \frac{M_{\max}}{[\sigma]};$$

$$W_x \geq \frac{187,5 \cdot 10^3 \text{ Н}\cdot\text{м}}{200 \cdot 10^6 \text{ Н/м}^2} = 937,5 \cdot 10^{-6} \text{ м}^3 = 937,5 \text{ см}^3.$$

Из таблиц сортамента ГОСТ 8230-56 подбираем двутавр № 40 с характеристиками: $h = 90 \text{ см}$; $b = 15,5 \text{ см}$; $d = 0,8 \text{ см}$; $I_x = 1,3 \text{ м}^4$; $J_x = 18930 \text{ см}^4$; $W_x = 947 \text{ см}^3$; $S_x^* = 540 \text{ см}^3$.

2) Максимальные напряжения в этом двутавре:

$$\sigma_{\max} = \frac{187,5 \cdot 10^3}{947 \cdot 10^{-6}} = 198 \cdot 10^6 \frac{\text{Н}}{\text{м}^2} = 198 \text{ МПа} < [\sigma] = 200 \text{ МПа};$$

$$\tau_{\max} = \frac{Q_{\max} S_x^*}{J_x \cdot d} = \frac{180 \cdot 10^3 \cdot 540 \cdot 10^{-6}}{18930 \cdot 10^{-8} \cdot 0,8 \cdot 10^{-2}} = 64,2 \cdot 10^6 \text{ Па} = 64,2 \text{ МПа} < [\tau] \approx 0,5\sigma = 116 \text{ МПа}.$$

Условия прочности выполняются.

3) Из эпюр видно, что M_{\max} действует в сечении А-А, где $Q_y = 0$, а Q_{\max} - в любом сечении от левой опоры до сечения В-В (рис. 3.10, в), но там изгибающий момент меньше максимального.

Рассмотрим сечение В-В, в котором $M_x = 180 \text{ кН}\cdot\text{м}$ - достаточно велико, а $Q_y = Q_{\max} = 180 \text{ кН}$. Подсчитаем напряжения в пяти точках по высоте сечения, используя формулы

$$\sigma_{\text{сж}} = -\frac{M}{J_z} y_1; \quad \tau_{(1)} = \frac{Q_y}{J_z} \frac{z}{\alpha}$$

Точка 1': $y_1 = 20 \text{ см}$

$$\sigma_{(1')} = -\frac{180 \cdot 10^3}{18930 \cdot 10^{-8}} \cdot 20 \cdot 10^{-2} = -190,2 \text{ МПа};$$

$$\tau_{(1')} = 0.$$

Точка 1: $y_1 = -20 \text{ см}$

$$\sigma_{(1)} = -\sigma_{(1')} = 190,2 \text{ МПа}; \quad \tau_{(1)} = 0.$$

Точка 2: $y_2 = 0$

$$\sigma_{(2)} = 0; \quad \tau_{(2)} = \tau_{\text{max}} = 64,2 \text{ МПа}.$$

Точка 3': $y_3 = \frac{h}{2} - z = 20 - 1,3 = 18,7 \text{ см};$

$$z^{\text{см}} = 6t \frac{h-z}{2} = 15,5 \cdot 1,3 \cdot 0,5 (40-1,3) = 390 \text{ см}^2;$$

$$\sigma_{(3')} = -\frac{180 \cdot 10^3}{18930 \cdot 10^{-8}} \cdot 18,7 \cdot 10^{-2} = -181 \text{ МПа};$$

$$\tau_{(3')} = \frac{180 \cdot 10^3 - 390 \cdot 10^{-4}}{18930 \cdot 10^{-8} \cdot 0,5 \cdot 10^{-2}} = 46,4 \text{ МПа}.$$

Точка 3: $y_3 = -18,7 \text{ см}$

$$\sigma_{(3)} = -\sigma_{(3')} = 181 \text{ МПа}; \quad \tau_{(3)} = \tau_{(3')} = 46,4 \text{ МПа}.$$

На рис. 3.11 показаны эпюры σ и τ в сечении Б-Б, в точке (для сравнения) в сечении А-А. В последние касательные напряжения по всей высоте рамы нуля.

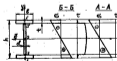


Рис. 3.11. К примеру 3.6. Эпюры нормальных и касательных напряжений

Проведя линию напряженного состояния в окрестности этих точек. Во всех случаях в площадках, параллельных базовой поверхности дуга (перпендикулярных оси z), напряжения отсутствуют.

В точках 1' и 1 наблюдается одноосное напряженное состояние (рис. 3.12, а). В точке 2 - чистый сдвиг (рис. 3.12, б).

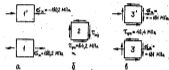


Рис. 3.12. К примеру 3.6. Виды напряженных состояний в точках сечения

В точках 3' и 3 - плоское напряженное состояние (рис. 3.12, в).

В первых точках выполнение условия прочности очевидно.

В примере 3.6 для чистого сдвига получаем формулы эквивалентных напряжений, по которым

$$\sigma_{\text{в}} = 2\tau = 2 \cdot 64,2 = 128,4 \text{ МПа};$$

$$\sigma_{\text{в}} = \tau\sqrt{3} = 64,2 \cdot \sqrt{3} = 111,2 \text{ МПа}.$$

Итак, в точке 2 условие прочности выполняется.

Для выполнения эквивалентных напряжений в точках 3 и 3' (в сечении дуга (рамы) под колесами) используем формулы (3.11) и (3.12):

$$\sigma_{\text{в}} = \sqrt{\sigma^2 + 4\tau^2} = \sqrt{181^2 + 4 \cdot 46,4^2} = 203,4 \text{ МПа};$$

$$\sigma_{\text{в}} = \sqrt{\sigma^2 + 3\tau^2} = \sqrt{181^2 + 3 \cdot 46,4^2} = 198,1 \text{ МПа}.$$

Итак, в этих точках по II критерию условие прочности не выполняется. Перегрузка составляет 1,7%.

Следует отметить, что в традиционных инженерных расчетах допускается перегрузка в отдельных точках конструкции, но она не должна превышать 5% от $[\sigma]$. Это применимо для конструкций, работающих при статической нагрузке. При повторно перемен-

нах изгибах местное передеформение может привести к появлению усталостной трещины.

ПРИМЕР 3.7. Проверить прочность (по II критерию) круглых стальной кулики, показанных на рис.3.13. Известны диаметры: $d_1 = 55$ мм; $d_2 = 70$ мм; $d_3 = 60$ мм. Материал - сталь с $[\sigma] = 60$ МПа.

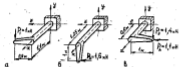


Рис.3.13. К примеру 3.7

Решение. В поперечных сечениях круглых стержней действуют следующие внутренние силовые факторы: изгибающий момент M_x (или M_y), крутящий момент M_{zx} , поперечная сила Q_y . Разобравшись в части I методических указаний способом стрижки сферы M_x , M_{zx} и Q_y для всех трех вариантов куликов (рис.3.14). Из них видно, что опасным является сечение у заделки. В окрестностях точек перебега диаметра поперечные сечения этих куликов с поперечностями стержней выданы элементарные параллелепипеды и на их гранях показаны действующие напряжения (рис.3.15). Направления касательных напряжений соответствуют действию крутящих моментов. В сечении третьего стержня одновременно действует изгибающий момент в вертикальной и горизонтальной плоскостях. Разнодействующий изгибающий момент

$$M_n = \sqrt{M_x^2 + M_y^2} = \sqrt{0,64^2 + 0,66^2} = 1,07 \text{ кНм.}$$

Он действует в плоскости, угол наклона которой к оси x может быть найден через его тангенс:

$$\operatorname{tg} \alpha = \frac{M_x}{M_y} = \frac{0,64}{0,66} = 1,273; \quad \alpha = 51^\circ 30'.$$

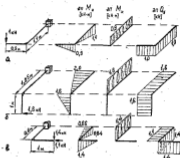


Рис.3.14. К примеру 3.7. Внутренние силовые факторы

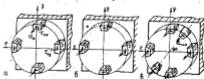


Рис.3.15. К примеру 3.7. Напряжения в характерных точках внешних обечай

В этой плоскости выделены два дополнительных элемента (рис. 3.13, в).

Вычислим максимальные напряжения в указанных точках (без учета действия поперечной силы):

$$a) \quad \sigma_{\max} = \frac{M_x}{W_x} = \frac{M_x}{\pi d^3/32} = \frac{1,1 \cdot 10^5 \cdot 32}{\pi \cdot 55^3 \cdot 10^{-9}} = 67,4 \text{ МПа};$$

$$\tau_{\max} = \frac{M_x}{W_p} = \frac{M_x}{\pi d^3/16} = \frac{0,9 \cdot 10^5 \cdot 16}{\pi \cdot 55^3 \cdot 10^{-9}} = 27,6 \text{ МПа}.$$

$$b) \quad \sigma_{\max} = \frac{2,0 \cdot 10^5 \cdot 32}{\pi \cdot 70^3 \cdot 10^{-9}} = 59,4 \text{ МПа};$$

$$\tau_{\max} = \frac{1,6 \cdot 10^5 \cdot 16}{\pi \cdot 70^3 \cdot 10^{-9}} = 23,6 \text{ МПа}.$$

$$a) \quad \sigma_{\max} = \frac{1,07 \cdot 10^5 \cdot 32}{\pi \cdot 60^3 \cdot 10^{-9}} = 50,5 \text{ МПа};$$

$$\tau_{\max} = \frac{1,4 \cdot 10^5 \cdot 16}{\pi \cdot 60^3 \cdot 10^{-9}} = 33,0 \text{ МПа}.$$

Направления этих напряжений в площадке, в которых они действуют, показаны на рис. 3.13. Отметим, что в третьем сечении σ_{\max} действует в точках 5 и 6, в то время, как в точках 1 и 3, 2 и 4 нормальные напряжения вызваны действием M_x и M_y по отдельности.

Вычислим касательные напряжения от поперечной силы. Для круглого сечения формула Журавского имеет вид:

$$\tau'_{\max} = \frac{4}{3} \frac{Q}{F}.$$

где $F = \frac{\pi d^2}{4}$ - площадь сечения.

Итак, для сечений:

$$a) \quad \tau'_{\max} = \frac{4}{3} \frac{1,0 \cdot 10^5 \cdot 4}{\pi \cdot 55^2 \cdot 10^{-6}} = 0,56 \text{ МПа},$$

здесь τ'_{\max} действует в точках 2 и 4 и направлено вниз. При его учете максимальное напряжение в точке 2 складывается из τ_{\max} от кручения, а в точке 4 - прибавляется:

$$b) \quad \tau'_{\max} = \frac{4}{3} \frac{1,6 \cdot 10^5 \cdot 4}{\pi \cdot 70^2 \cdot 10^{-6}} = 0,55 \text{ МПа}.$$

Это напряжение действует в точках 1 и 3, направлено вверх.

налево, потому в точке 1 складывается, а в точке 3 прибавляется к τ_{\max} от кручения.

Видно, что максимальные напряжения τ'_{\max} от действия поперечной силы значительно меньше τ_{\max} от кручения. Кроме того, они отсутствуют в площадках, где наблюдаются нормальные напряжения от изгиба.

Выбираем в качестве опасной по одной точке в каждом случае и по формуле (3.11) производим проверку прочности:

а) точка 1 (см. 3):

$$\sigma_{II} = \sqrt{\sigma^2 + 4\tau^2} = \sqrt{67,4^2 + 4 \cdot 27,6^2} = 67,1 \text{ МПа} < [\sigma].$$

Перегрузка - 0,0%.

б) точка 2 (см. 4):

$$\sigma_{II} = \sqrt{59,4^2 + 4 \cdot 23,6^2} = 70,1 \text{ МПа} < [\sigma].$$

Нагрузка - 4,0%.

в) точка 5 (см. 5):

$$\sigma_{II} = \sqrt{50,5^2 + 4 \cdot 33^2} = 63,1 \text{ МПа} > [\sigma].$$

Перегрузка - 3,0%.

Итак, прочность второго сечения обеспечена, первого 2 не удовлетворительна. В третьем сечении перегрузка не превышает 0%, но здесь рассмотренный элемент круглого сечения, работающего в режиме поперечной переменной нагрузки. В этом случае перегрузка недопустима.

ПРИМЕР 3.8. Определить необходимую толщину стенки тонкостенной трубы с заглубленным торцом и жестко заделанной на другом конце (рис. 3.16). Кроме осредоточенных сил P_1 и P_2 труба нагружена внутренним давлением q .

Дано: $P_1 = 40 \text{ кН}$; $P_2 = 60 \text{ кН}$; $q = 2 \text{ МПа}$; $F = 3 \text{ м}$; $a = 2 \text{ м}$; $R = 0,4 \text{ м}$; материал - сталь с $\sigma_y = 260 \text{ МПа}$; коэффициент запаса по прочности $\kappa_y = 2$.

У к л а д а н и е. Толщину стенки рассчитать из условия прочности, основанного на II критерии. Проверить анализ напряженного состояния в четырех характерных точках (указать на рисунке) опасного сечения.

Рис. 3.16. Основное сечение из теории и порядок выполнения работ даны в методических указаниях В.В.Давыдовой "Анализ напряженного состояния и определение толщин стенки тонкостенной цилиндрической трубы при плоской деформации". Изд. МЭИ, 1976.

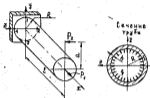


Рис. 3.16. К примеру 3.8

Для тонкого кольцевого сечения толщиной h и средним радиусом R геометрические характеристики могут быть вычислены по формулам:

- площадь поперечного сечения $F = 2\pi R h$;
- осевой момент инерции (при изгибе) $J_x = \pi R^3 h$;
- момент сопротивления изгибу $W_x = \pi R^3 h$;
- полярный момент инерции $J_p = 2\pi R^3 h$;
- момент сопротивления кручению $W_p = 2\pi R^2 h$;
- статический момент площади поперечения относительно центральной оси $S^* = 2R^2 h$.

Рассмотрим действие факторов внешней нагрузки по отдельности.

Внутреннее давление, воздействуя на торцевую заглушку, вызывает растяжение трубы вдоль ее оси x , а давление на стенке приводит к расширению кольца сечения, т.е. к растяжению в окружном направлении. В обоих случаях возникают только нормальные напряжения:

- в поперечных сечениях (перпендикулярных оси x)

$$\sigma_{\perp q} = \frac{qR}{2h}$$

- в продольных радиальных сечениях

$$\sigma_{\parallel q} = \frac{qR}{h}$$

Пренебрегая влиянием торцевых, можем сказать, что внутреннее давление вызывает в любой точке стенки трубы одинаковое плоское напряженное состояние. На рис. 3.17 показан элементарный параллелепипед, вырезанный у произвольной точки стенки поперечным и продольно-радиальными плоскостями.

Средосточенная сила P_1 вызывает осевое растяжение трубы, а сила P_2 - кручение и поперечный изгиб в горизонтальной плоскости.

На рис. 3.18 рассмотрим воздействие на трубу оси P_1 и P_2 показаны в виде векторов продольной силы N_x , крутящего момента M_x , изгибающего момента M_y и поперечной силы Q_y . При рассмотрении вектор сила P_2 заменяется равной ей силой P'_2 , приложенной к центру торца и направленной по оси x , а также моментом $M = P_2 a$, действующим в плоскости, перпендикуляр-



Рис. 3.17. К примеру 3.8. Воздействие внутреннего давления

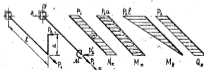


Рис. 3.18. К примеру 3.8. Векты внутренних сил и факторов

ной оси x . Видно, что опасным является состояние у заданной, где изгибающий момент достигает максимума. В этом состоянии вольем четыре точки на поперечном сечении координатных осей O внешней поверхностью трубы. В окрестностях этих точек выделены элементарные параллелепипеды, ориентированные по оси трубы, и определены величины и направления нормальных и касательных напряжений, действующих в площадках элементов.

На гранях элементов (рис. 3.19-3.22) минимально координаты нормальные напряжения растягивающего, в касательное - по направлению действия крутящего момента. Если какой-либо фактор вызовет напряжения противоположного направления, то учтем это отрицательным знаком при соответствующем слагаемом.



Рис. 3.19. К примеру 3.8



Рис. 3.21. К примеру 3.8



Рис. 3.20. К примеру 3.8



Рис. 3.22. К примеру 3.8

Точка 1 (см. рис. 3.19). Площадка, перпендикулярная оси y , совпадает с внешней поверхностью, напряжения в ней отсутствуют. Напряжения σ_x определяются только действием внешней q :

$$\sigma_x = \sigma_{qx} = \frac{qR}{h}$$

Напряжения σ_{yz} определяются действием давления q и продольной силой N_x :

$$\sigma_{yz} = \sigma_{qx} + \sigma_{N_x} = \frac{qR}{2h} + \frac{P_1}{2\pi R h}$$

Напряжения τ_{xz} определяются действием M_x и Q_y , причем в обоих случаях направление его совпадает с показанным на рис. 3.19:

$$\tau_{xz} = \frac{M_x}{W_p} + \frac{Q_y S_y^*}{J_y 2h} = \frac{P_2 a}{2\pi R^2 h} + \frac{P_2 2R^2 h}{\pi R^2 h 2h} = \frac{P_2 a}{2\pi R^2 h} + \frac{P_2}{\pi R h}$$

По закону парности касательных напряжений $\tau_{zx} = \tau_{xz}$.

Точка 2 (см. рис. 3.20). Здесь и в дальнейшем при записи выражений для напряжений будем учитывать с соответствующим знаком только те слагаемые факторы, что дают отклонение от нуля слагаемые:

$$\sigma_x = \frac{qR}{2h} + \frac{N_x}{F} + \frac{M_x}{W_p} = \frac{qR}{2h} + \frac{P_1}{2\pi R h} + \frac{P_2 l}{\pi R^2 h};$$

$$\sigma_y = \frac{qR}{h};$$

$$\tau_{xy} = \tau_{yx} = \frac{M_x}{W_p} = \frac{P_2 a}{2\pi R^2 h}$$

Точка 3 (см. рис. 3.21):

$$\sigma_x = \frac{qR}{2h} + \frac{N_x}{F} = \frac{qR}{2h} + \frac{P_1}{2\pi R h};$$

$$\sigma_y = \frac{qR}{h};$$

$$\tau_{xz} = \tau_{zx} = \frac{M_x}{W_p} - \frac{Q_y S_y^*}{J_y 2h} - \frac{P_2 a}{2\pi R^2 h} - \frac{P_2}{\pi R h}$$

Точка 4 (см. рис. 3.22):

$$\sigma_x = \frac{qR}{2h} + \frac{N_x}{F} - \frac{M_x}{W_p} = \frac{qR}{2h} + \frac{P_1}{2\pi R h} - \frac{P_2 l}{\pi R^2 h};$$

$$\sigma_y = \frac{qR}{h};$$

$$\tau_{xy} = \tau_{yx} = \frac{M_x}{W_p} = \frac{P_2 a}{2\pi R^2 h}$$

Теперь подставим в полученные формулы заданные значения для l в метрах, a в миллиметрах, давления в паскалях (Н/м^2).

Точка 1:

$$\sigma_x = \frac{2 \cdot 10^3 \cdot 0,4}{2h} + \frac{40 \cdot 10^3}{2 \cdot 0,4h} = \frac{400 \cdot 10^3}{h} + \frac{15 \cdot 10^3}{h} = \frac{415 \cdot 10^3}{h};$$

$$\sigma_y = \frac{2 \cdot 10^3 \cdot 0,4}{h} = \frac{800}{h} \cdot 10^3;$$

$$\tau_{xy} = \tau_{yx} = \frac{60 \cdot 10^3 \cdot 2}{2 \cdot 0,4^2 h} + \frac{60 \cdot 10^3}{2 \cdot 0,4h} = \frac{119 \cdot 10^3}{h} + \frac{48 \cdot 10^3}{h} = \frac{167 \cdot 10^3}{h}.$$

Точка 2 (используем следующие знаки вычисления):

$$\sigma_x = \frac{400 \cdot 10^3}{h} + \frac{15 \cdot 10^3}{h} + \frac{60 \cdot 10^3 \cdot 3}{\pi \cdot 0,4^2 h} = \frac{415 \cdot 10^3}{h} + \frac{358 \cdot 10^3}{h} = \frac{774 \cdot 10^3}{h};$$

$$\sigma_y = \frac{800}{h} \cdot 10^3;$$

$$\tau_{xy} = \tau_{yx} = \frac{119}{h} \cdot 10^3.$$

Точка 3:

$$\sigma_x = \frac{415}{h} \cdot 10^3; \quad \sigma_y = \frac{800}{h} \cdot 10^3;$$

$$\tau_{xy} = \tau_{yx} = \frac{119 \cdot 10^3}{h} = \frac{48 \cdot 10^3}{h} = \frac{71}{h} \cdot 10^3.$$

Точка 4:

$$\sigma_x = \frac{415 \cdot 10^3}{h} - \frac{358 \cdot 10^3}{h} = \frac{58}{h} \cdot 10^3;$$

$$\sigma_y = \frac{800}{h} \cdot 10^3; \quad \tau_{xy} = \tau_{yx} = \frac{119}{h} \cdot 10^3.$$

Вычисляем главные напряжения для случая плоского напряженного состояния по формуле (3.3). По формуле (3.4) определяем угол между осью x и 2-й главной осью. Углом, что во всех точках $\sigma_x < \sigma_y$.

Точка 1:

$$\sigma_1 = \frac{\sigma_x + \sigma_y}{2} + \frac{1}{2} \sqrt{(\sigma_x - \sigma_y)^2 + 4\tau_{xy}^2} = \frac{10^3}{h} (507 + 254) = \frac{862 \cdot 10^3}{h};$$

$$\sigma_2 = \frac{10^3}{h} (608 - 254) = \frac{354}{h} \cdot 10^3;$$

$$\sigma_3 = 0; \quad \alpha = 20^\circ 29'.$$

Точка 2:

$$\sigma_1 = \frac{10^3}{h} (787 + 120) = \frac{907}{h} \cdot 10^3;$$

$$\sigma_2 = \frac{10^3}{h} (787 - 120) = \frac{667}{h} \cdot 10^3;$$

$$\sigma_3 = 0; \quad \alpha = 41^\circ 54'.$$

Точка 3:

$$\sigma_1 = \frac{10^3}{h} (608 + 205) = \frac{813}{h} \cdot 10^3;$$

$$\sigma_2 = \frac{10^3}{h} (608 - 208) = \frac{400}{h} \cdot 10^3;$$

$$\sigma_3 = 0; \quad \alpha = 10^\circ 7'.$$

Точка 4:

$$\sigma_1 = \frac{10^3}{h} (429 + 380) = \frac{819}{h} \cdot 10^3;$$

$$\sigma_2 = \frac{10^3}{h} (429 - 380) = \frac{49}{h} \cdot 10^3;$$

$$\sigma_3 = 0; \quad \alpha = 6^\circ 53'.$$

По формуле (3.7) подсчитаем значения эквивалентных напряжений

$$\text{Точка 1:} \quad \sigma_{\text{э}} = \frac{750}{h} \cdot 10^3.$$

$$\text{Точка 2:} \quad \sigma_{\text{э}} = \frac{813}{h} \cdot 10^3.$$

$$\text{Точка 3:} \quad \sigma_{\text{э}} = \frac{704}{h} \cdot 10^3.$$

$$\text{Точка 4:} \quad \sigma_{\text{э}} = \frac{810}{h} \cdot 10^3.$$

Спасной является точка 2. По условию прочности $\sigma_{\text{э}} = [\sigma]$, где $[\sigma] = \sigma_s / n_s = 2800/2 = 1400$ МПа. Извлечем размерности: $[\sigma] = 140 \cdot 10^6$ Па.

Итак:

$$\frac{813}{h} \cdot 10^3 \leq 140 \cdot 10^6.$$

Отсюда

$$h \geq \frac{813 \cdot 10^3}{140 \cdot 10^6} = 5,8 \cdot 10^{-3} \text{ м} = 5,8 \text{ мм}.$$

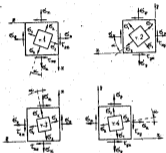


Рис. 3.23. К примеру 3.6. Главные площадки

Принимая толщину стенки трубы $h = 6$ мм. Подставив это значение во все полученные выше выражения нормальных, касательных и главных напряжений, представим их значения в табл. 3.1.

Таблица 3.1

Номер точки	Напряжения, МПа				Главные напряжения, МПа			α , град.	$\sigma_{\text{ср}}$, МПа
	Поперечное сечение		Продольно-радиальное сечение		σ_1	σ_2	σ_3		
	σ_x	τ_{xy}	σ_r	τ_{rz}					
1	69,3	27,8	133,3	27,8	143,7	59,6	0	$30^{\circ}39'$	125,6
2	129,0	19,8	133,3	19,8	151,2	111,2	0	$41^{\circ}54'$	135,5
3	69,3	11,8	133,3	11,8	135,3	67,2	0	$10^{\circ}27'$	117,3
4	9,7	19,8	133,3	19,8	136,5	6,5	0	$6^{\circ}53'$	133,3

Обратим внимание, что в точках 1 и 2 $\sigma_1 > |\sigma_2|$, однако составные напряжения таковы, что прокрутка в этих точках отсутствует.

На рис. 3.23 показано положение главных площадок по отношению к координатам. Значения показаны со стороны внешней поверхности трубы.

О Г Л А В Л Е Н И Е

1. Определения перемещений при статическом нагружении стержней	3
1.1. Растяжение и сжатие	4
1.2. Кручение цилиндрического стержня	11
1.3. Поперечный изгиб. Универсальное уравнение изогнутой оси	15
2. Динамическое нагружение стержневых систем	25
3. Анализ напряженного состояния в точке. Расчеты на прочность в общих случаях нагружения	40
3.1. Общие положения теории напряженного состояния	41
3.2. Правила о расчетах на прочность при сложном напряженном состоянии	44
3.3. Примеры решения задач при сложном напряженном состоянии	47